

# DESARROLLO DE UNA HERRAMIENTA PARA DISCERNIR ERRORES MÚLTIPLES Y ERRORES SIMPLES EN MEMORIAS SRAM SOMETIDAS A RADIACIÓN

Illescas García, Paula  
Zapico Suárez, David

GRADO EN INGENIERÍA DE COMPUTADORES. FACULTAD DE INFORMÁTICA  
UNIVERSIDAD COMPLUTENSE DE MADRID

---



Trabajo Fin de Grado en Ingeniería de Computadores

Madrid, 13 de Septiembre de 2017

Directores:

Mecha López, Hortensia  
Clemente, Juan Antonio



# Autorización de difusión

Illescas García, Paula  
Zapico Suárez, David

Madrid, a 1 de septiembre de 2017

Los abajo firmantes, matriculados en el Grado de Ingeniería de Computadores de la Facultad de Informática, autorizan a la Universidad Complutense de Madrid (UCM) a difundir y utilizar con fines académicos, no comerciales y mencionando expresamente a su autor el presente Trabajo Fin de Grado: “DESARROLLO DE UNA HERRAMIENTA PARA DISCERNIR ERRORES MÚLTIPLES Y ERRORES SIMPLES EN MEMORIAS SRAM SOMETIDAS A RADIACIÓN”, realizado durante el curso académico 2016-2017 bajo la dirección de Hortensia Mecha López y la co-dirección de Juan Antonio Clemente en el Departamento de Arquitectura de Computadores y Automática, y a la Biblioteca de la UCM a depositarlo en el Archivo Institucional E-Prints Complutense con el objeto de incrementar la difusión, uso e impacto del trabajo en Internet y garantizar su preservación y acceso a largo plazo.



Esta obra está bajo una  
Licencia Creative Commons  
Atribución-NoComercial-CompartirIgual 4.0 Internacional.



# Agradecimientos

*A mis padres y hermano, gracias por todo*

David

*A mis padres y a mi familia, muchas gracias.*

Paula

# Índice general

Índice	I
Índice de figuras	V
Índice de tablas	VII
Índice de cuadros	VII
Resumen	VIII
Abstract	IX
<b>1. Introducción</b>	<b>2</b>
1.1. Objetivo . . . . .	4
1.2. Plan de trabajo . . . . .	5
1.3. Estructura del documento . . . . .	6
<b>2. Fundamentos matemáticos</b>	<b>9</b>
2.1. Estadísticas para la resta positiva, XOR, etc. . . . .	10
2.2. El conjunto DA y el experimento de irradiación . . . . .	12
2.3. Parámetros estadísticos observables en DV . . . . .	13
2.4. Validación del modelo ONLY-SBUs . . . . .	14
2.4.1. Tests Monte Carlo . . . . .	14
2.4.2. Resultados de los experimentos actuales . . . . .	15

<b>3. Reglas propuestas para descubrir valores DV anómalos e identificar MCUs</b>	<b>20</b>
3.1. Repeticiones excesivas y autoconsistencia . . . . .	20
3.2. Combinación de datos de diferentes experimentos . . . . .	24
3.3. La regla del patrón . . . . .	26
3.4. La regla de la traza . . . . .	26
3.5. La regla de XOR . . . . .	27
3.6. La regla de los MCUs preliminares . . . . .	28
<b>4. Herramienta</b>	<b>31</b>
4.1. Entorno de desarrollo . . . . .	31
4.1.1. Entorno software . . . . .	31
4.1.2. Eclipse . . . . .	32
4.1.3. xCode . . . . .	32
4.1.4. Qt . . . . .	32
4.2. Desarrollo . . . . .	33
4.2.1. Julia . . . . .	33
4.2.2. C . . . . .	34
4.3. Modificaciones . . . . .	35
4.3.1. Optimización . . . . .	36
4.3.2. Mejoras . . . . .	37
4.4. Problemas . . . . .	39
4.5. Pasos del programa . . . . .	39
4.6. Funcionalidades de la interfaz . . . . .	41
<b>5. Resultados</b>	<b>47</b>
<b>6. Conclusiones</b>	<b>51</b>

6.1. Conclusiones . . . . .	51
6.2. Aportación individual de los miembros del grupo al proyecto . . . . .	52
<b>A. Código del proyecto</b>	<b>55</b>
<b>Bibliografía</b>	<b>91</b>





# Índice de figuras

2.1. Promedio de ocurrencias . . . . .	15
2.2. Porcentaje de valores de traza . . . . .	17
3.1. Interacción entre MCUs. . . . .	21
4.1. Ejemplo de archivo .jl . . . . .	40
4.2. Interfaz gráfica: Selección de fichero . . . . .	42
4.3. Interfaz gráfica: Carga de fichero . . . . .	43
4.4. Interfaz gráfica: Dibujo memoria SRAM . . . . .	44
4.5. Interfaz gráfica: Leyenda y eventos que aparecen . . . . .	44



# Índice de tablas

2.1. Matriz DA para $N=3$ y resta positiva . . . . .	10
2.2. Comparación entre las simulaciones Monte Carlo y las predicciones teóricas .	14
2.3. Eventos observados en experimentos previos . . . . .	16
2.4. Datos estadísticos de los conjuntos $DV$ estudiados en unidades $L_N$ . . . . .	17
2.5. Repetición de elementos en los conjuntos $DV$ para sistemas ONLY-SBUs con la Resta Positiva . . . . .	18
2.6. Repetición de elementos en los conjuntos $DV$ para sistemas ONLY-SBUs con la operación XOR . . . . .	18
3.1. Elementos en exceso en el conjunto $DV$ para 130-NM/0x00 . . . . .	23
3.2. Aplicación de la regla self-consistency para 130-NM/0x00 . . . . .	24
4.1. Comparación de tiempos y uso de la memoria en la ejecución de los distintos programas . . . . .	38
5.1. 130-NM SRAM: Eventos estimados vs. eventos reales . . . . .	47
5.2. 90-NM SRAM: Eventos estimados vs. eventos reales . . . . .	48

# Resumen

Para testear la vulnerabilidad de las memorias en entornos radiactivos se utilizan fuentes de radiación que en un breve lapso de tiempo, permiten obtener grandes cantidades de errores. Durante estos tests, se mezclan los errores simples (una partícula afecta a una celda de memoria) con los múltiples (una partícula afecta a múltiples celdas de memoria), y no es en absoluto trivial discernir ambos tipos de errores. Sin embargo, para mejorar la precisión de las métricas que evalúan la sensibilidad es imprescindible saber qué errores son simples y cuáles son múltiples.

En este trabajo, nos familiarizaremos con las distintas técnicas para distinguir los tipos de errores mencionados anteriormente. Después crearemos un software con las técnicas necesarias para la predicción de dichos fallos usando el lenguaje C. Y finalmente desarrollamos una interfaz gráfica que será sencilla e intuitiva para facilitar la obtención de los datos y una mejora en la visualización.

## Palabras clave

Multiple Cell Upset, Single Bit Upset, Single Events, Soft Errors, SRAMs

# Abstract

To test the vulnerability of memories in radioactive environments, radiation sources are used to obtain large amounts of errors. During these tests, simple errors (a particle affects a memory cell) are mixed with the multiples (one particle affects multiple memory cells), and it is not at all trivial to discern both types of errors. However, to improve the accuracy of the metrics that evaluate the sensitivity it is imperative to know which errors are simple and which are multiple.

In this project, we will familiarize ourselves with the different techniques to tell apart the types of errors mentioned above. Then we will create a software with the necessary techniques for the prediction of such failures using the C language. And finally we developed a graphical interface that will be simple and intuitive to facilitate the obtaining of the data and an improvement in the visualization.

## Keywords

Multiple Cell Upset, Single Bit Upset, Single Events, Soft Errors, SRAMs



# Capítulo 1

## Introducción

La evolución de la tecnología electrónica ha permitido que los transistores alcancen tamaños realmente diminutos. Como consecuencia, también ha crecido el riesgo de compartimiento de carga, así como la ocurrencia de eventos múltiples en *Memorias de Acceso Aleatorio Estáticas* (*Static Random Access Memories, SRAMs*).

Los efectos que produce la radiación en este tipo de memorias no es un problema nuevo ya que desde hace varias décadas, se contempla a la hora de su fabricación y diseño para distintos ámbitos, como por ejemplo en la industria aeroespacial.

Es obligatorio establecer la distinción entre errores simples o SBUs *Single Bit Upsets* y errores múltiples o MCUs *Multiple Cell Upsets* al calcular las secciones eficaces para con radiación en SRAMs. Pero esto no es fácil de realizar. En las SRAMs antiguas, los bits de la misma palabra se ubicaban en localizaciones adyacentes, por lo que los errores múltiples se podían descubrir como varios trastornos de bits en la misma palabra *Multiple Bit Upsets, MBUs*. Teniendo en cuenta que estos errores no podían corregirse con las técnicas estándar como “Error Correcting Codes (ECC)”, los fabricantes comenzaron a usar el “entrelazado” (interleaving) en las memorias. El objetivo era prevenir que estos eventos múltiples ocurrieran en la misma dirección y de este modo hacer que la recuperación frente a errores fuera más fácil.



Esto es un reto, porque a no ser que la estructura interna de la SRAM sea conocida, no es posible determinar la relación entre las direcciones lógicas y las físicas en las memorias. Desafortunadamente esta información los fabricantes la suelen mantener en privado y no está disponible. Por lo tanto, basándose en las anomalías estadísticas de los conjuntos de direcciones afectadas por radiación, se han desarrollado distintas estrategias para agrupar las direcciones en errores múltiples.

Podemos enmarcar este trabajo dentro de los estudios de la resistencia y sensibilidad a la radiación de los circuitos integrados, en particular de las memorias. Durante los últimos años, los fabricantes intentan satisfacer la demanda de mejora de prestaciones y una disminución de tamaño. Esto, junto con el escalado de la tecnología electrónica, puede que no garantice la estabilidad de las celdas y acarree un aumento de la susceptibilidad a dicha radiación, produciendo errores de funcionamiento. Existe un conocido problema que ocurre cuando las memorias se prueban bajo radiación: la determinación de si un trastorno en un bit es aislado, o si éste pertenece a un evento múltiple. Como es excepcional conocer el diseño físico de la memoria, este trabajo plantea el evaluar las propiedades estadísticas de un conjunto de direcciones con trastornos en sus bits y comparar los resultados con las predicciones matemáticas de un modelo donde todos los eventos son aislados. Así, un conjunto de reglas fáciles de implementar en lenguajes de programación comunes pueden ser aplicadas iterativamente si se observan anomalías. Esto nos permite una clasificación de los errores bastante cercana a la realidad con más del 80 % de exactitud.

En trabajos anteriores, se demostró la factibilidad de la detección de direcciones implicadas en eventos múltiples usando la operación XOR, que se propuso por primera vez en 2007[1]

Las direcciones que contenían bitflips se combinaban en pares, se aplicaba sobre ellas la operación XOR y finalmente, se seleccionaban los valores que aparecían más veces de lo esperado. El punto clave, era que la operación XOR obtiene ventaja de la modularidad de las SRAMs. Esto constituía una gran diferencia respecto a trabajos anteriores[2] que se usaron como punto de partida, donde a las direcciones se les aplicaba una operación de resta, en lugar de realizar sobre ellas la operación XOR. Sin embargo, es interesante encontrar un procedimiento general para separar la aleatoriedad de la causalidad.

## 1.1. Objetivo

A la hora de comenzar nuestro proyecto, el primer paso es definir los objetivos del trabajo, algo muy importante ya que nos marca una orientación hacia donde queremos llegar y avanzar en el proyecto. Los objetivos de este proyecto pueden dividirse en:

- Familiarizarnos con las distintas técnicas existentes para detectar los distintos tipos de errores.
- Desarrollar una herramienta software que implemente dichas técnicas en lenguaje C/C++.
- La creación de una interfaz gráfica sencilla y fácil de usar por el usuario.

El primer objetivo consiste en estudiar las distintas técnicas existentes para la detección de los distintos tipos de errores que se pueden dar en las memorias SRAM cuando son incididas por radiación. Este tipo de técnicas requiere del estudio de numerosos conceptos matemáticos básicos para la realización de las distintas funciones que calculan y previenen los errores. Hay que mencionar que las matemáticas juegan un rol especial en el pensamiento científico, proporcionando veracidad y rigor al estudio.

El segundo objetivo y podríamos decir el principal de este proyecto, es el desarrollo de un software para el análisis de los resultados obtenidos al irradiar memorias SRAM desde distintas fuentes de radiación, permitiendo discernir entre errores simples y errores múltiples, y así caracterizar su sensibilidad frente a errores en entornos radiactivos, como por ejemplo, el espacio. Se utilizará el lenguaje C para su desarrollo ya que consideramos que reducirá su tiempo de computo, además de conseguir una mejor estructuración del código. Hay que mencionar que las distintas técnicas para distinguir los tipos de errores están escritos en lenguaje Julia. Un lenguaje de programación de tipado dinámico de alto nivel y alto desempeño para la computación genérica, técnica y científica, que requiere de su asimilación y aprendizaje previo con el fin de abstraer toda la información posible para implementar las técnicas más relevantes para la realización del análisis.

Y finalmente como último objetivo, y no por ello menos importante, fijamos crear una interfaz gráfica no muy compleja para poder trabajar de manera sencilla con ella, interactuar y visualizar los resultados obtenidos de los distintos experimentos.

## **1.2. Plan de trabajo**

La finalidad de este proyecto es la de desarrollar un software para analizar los resultados que se obtengan al irradiar memorias SRAM a diferentes fuentes de radiación, y así caracterizar su sensibilidad frente a errores en entornos radiactivos como el espacio. Para ello nos familiarizarnos con las distintas técnicas diferentes para discernir dichos tipos de errores y posteriormente de desarrollaremos un software en el lenguaje y plataforma que elijamos para implementar las técnicas más relevantes, que sea intuitivo y que tenga una Graphical User Interface (GUI).

Previamente comenzamos evaluando los diferentes lenguajes de programación y frameworks que vamos a utilizar. Elegimos el lenguaje C ya que es muy flexible, nos resulta bastante familiar y en principio, nos otorgará una disminución del tiempo de ejecución. A continuación, valoramos que framework deberíamos usar para realizar la interfaz gráfica y nos decantamos por QT por su comodidad a la hora de realizar el diseño, porque es desarrollada como un software libre y de código abierto y funciona en las principales plataformas. Seguidamente se trabaja de forma conjunta en la programación de nuestra herramienta software, haciendo pruebas en Julia y comparando que los resultados sean los correctos. Y una vez que hemos conseguido un programa estable y funcional, comenzamos con la programación de la interfaz gráfica.

Finalmente, se reflexiona sobre los datos obtenidos y se obtienen las conclusiones correspondientes a dicho trabajo.

### 1.3. Estructura del documento

La memoria está dividida en los siguientes capítulos:

- El Capítulo **Capítulo 1** contiene una introducción del proyecto, donde se hace una breve exposición del tema que vamos a tratar. Se explica la idea principal y se marcan los objetivos con el fin de cumplirlos a lo largo de la realización de este proyecto.
- El Capítulo **Capítulo 2** y el Capítulo **Capítulo 3** se adentran más en los fundamentos matemáticos y en las reglas en las que se basa el proyecto.
- En el Capítulo **Capítulo 4** se habla de las distintas herramientas y frameworks que se han usado para la realización del mismo. Se exponen las modificaciones que se han producido con respecto a la versión anterior [1] y las mejoras que conllevan. También habla de los problemas que han surgido a lo largo del período de desarrollo y finalmente

cuenta los distintos pasos que se han realizado para la construcción del software y la funcionalidad de la interfaz.

- El Capítulo **Capítulo 5** explica los resultados obtenidos por la herramienta. Se toman dichos resultados estimados y se comparan con los reales. También se comenta la mejoría en tiempos que se produce con este nuevo software.
- En el Capítulo **Capítulo 6** se exponen las conclusiones obtenidas después de desarrollar nuestra herramienta, comparándolas con los objetivos y requisitos iniciales del proyecto.



## Capítulo 2

# Fundamentos matemáticos

Una buena estrategia para caracterizar sistemas con MCUs, comienza conociendo profundamente las propiedades de su sistema opuesto: Un sistema ideal donde solo ocurren SBUs.

Supongamos que estamos comprobando una SRAM con  $N$  bits de dirección y con un ancho de datos de  $N_W$  bits.

El experimento consiste en escribir un patrón conocido en la SRAM, irradiarlo, y finalmente leer su contenido desde la dirección más baja (0) a la más alta ( $L_N = 2^N - 1$ ). Se asume que las direcciones donde ocurren bitflips, produciendo  $N_E$  direcciones afectadas, se almacenan en un archivo de logs. Se deben aceptar dos hechos: en primer lugar, solo pueden ocurrir SBUs. En otras palabras, las partículas inducen a un único bitflip o a ninguno. En segundo lugar, las direcciones con bitflips son distribuidas entre 0 y  $L_N$  de manera aleatoria y son equiprobables. Considerando sólo las direcciones y no su contenido interno, se obtiene un conjunto de  $N_E$  elementos, que no están repetidos y están distribuidos entre 0 y  $L_N$ .

## 2.1. Estadísticas para la resta positiva, XOR, etc.

Contamos con un conjunto  $A$  que contiene todos los números naturales entre 0 y  $L_N$ . Por lo tanto, contiene  $L_N + 1$  elementos. A continuación, en este conjunto se define una operación binaria  $d : A \times A \rightarrow A$  que cuenta con las siguientes propiedades:

1. Simetría:  $d(a, b) = d(b, a)$
2.  $d(a, a)$  no está definido para ningún  $a \in A$

Los ejemplos son la resta positiva (P.S.),  $d(a, b) = \max(a, b) - \min(a, b)$ , la operación XOR,  $d(a, b) = a \oplus b$ , etc... Ambos con la prohibición de combinar dos elementos idénticos. Ahora, contamos con un conjunto nuevo llamado  $DA$ , asociado con  $A$ , tal que:

$$DA = d(a_i, a_j), \forall a_i, a_j, \setminus a_i < a_j, a_{i,j} \in A \quad (2.1)$$

La tabla 2.1 muestra el conjunto  $DA$  para  $N = 3$  ( $L_N = 2^3 - 1 = 7$ ) de la resta positiva.

	0	1	2	3	4	5	6	7
0	...	1	2	3	4	5	6	7
1	...	...	1	2	3	4	5	6
2	...	...	...	1	2	3	4	5
3	...	...	...	...	1	2	3	4
4	...	...	...	...	...	1	2	3
5	...	...	...	...	...	...	1	2
6	...	...	...	...	...	...	...	1
7	...	...	...	...	...	...	...	...

Tabla 2.1: Matriz DA para N=3 y resta positiva

A través de este ejemplo podemos observar algunas características interesantes:

- El número 0 nunca aparece entre los 8 valores posibles debido a la prohibición de restar dos valores iguales.



- Este conjunto tiene 28 elementos y 7 posibles valores. Obviamente, varios valores están repetidos pero el número de veces que aparecen no es el mismo.

En efecto, se pueden deducir dos factores fundamentales del principio de la inducción matemática: Primero, si  $A$  contiene  $M$  elementos,  $([0, 1, \dots, M - 1])$ , entonces contamos con  $N_{DA}$  elementos en  $DA$ :

$$N_{DA} = \binom{M}{2} = \frac{1}{2} \cdot M \cdot (M - 1) \quad (2.2)$$

Cada elemento se crea combinando dos elementos diferentes de  $A$ , sin repetición e independiente del orden, un conocido problema en combinatoria. Tenemos entonces  $M = 2^N = L_N + 1$ .

Segundo, el número de veces que aparece en  $DA$  un elemento  $k \in [1, 2, \dots, M - 1]$  es:

$$N_k = M - k \quad (2.3)$$

El enfoque clásico de la probabilidad establece que la probabilidad de ocurrencia de un evento es el número de casos favorables dividido entre el número total de casos posibles. Por lo tanto, la probabilidad de obtener  $d(a_1, a_2) = k$ ,  $0 < k < L_N$  habiendo elegido dos elementos diferentes  $a_1$  y  $a_2$  de  $A$ , es:

$$P_{DA}(k) = N_k / N_{DA} \quad (2.4)$$

Para cualquier operación este resultado es válido, y en el caso de la resta positiva la ecuación sería la siguiente:

$$P_{DA,PS}(k) = \frac{N_k}{N_{DA}} = \frac{2 \cdot (L_N + 1 - k)}{L_N \cdot (L_N + 1)} \quad (2.5)$$

En caso de usar la operación XOR, se puede demostrar que  $P_{DA,XOR}(k) = L_N^{-1}$  *sí y solo sí*  $M$  es un número natural potencia de 2. De la ecuación 2.5 se puede demostrar que el

valor medio,  $\bar{k}$ , y la desviación típica de  $DA$ ,  $\sigma$ , con resta positiva es  $\bar{k}_{PS} = \frac{1}{3}(L_N + 1)$  y  $\sigma_{PS} \approx \frac{1}{\sqrt{2}} \cdot \bar{k}$ .

En cambio, si se usa XOR, los valores de los parámetros serían  $\bar{k}_{XOR} = \frac{1}{2}(L_N + 1)$  y  $\sigma_{XOR} \approx \frac{1}{\sqrt{3}} \cdot \bar{k}$ .

Se pueden definir otras operaciones pero por lo general son expresiones difíciles con las que trabajar. Si la operación es la operación lógica  $AND$ :

$$P_{DA,AND}(k) = [L_N \cdot (L_N + 1)]^1 \cdot (3^Z - 1) \quad (2.6)$$

Siendo  $Z$  el número de ceros que tiene  $k$  en su forma binaria. Otras operaciones lógicas producen expresiones similares basadas en el número de unos o ceros.

## 2.2. El conjunto DA y el experimento de irradiación

Como se dijo anteriormente, obtener  $N_E$  direcciones con SBUs es formalmente equivalente a elegir de forma aleatoria  $N_E$  del rango  $[0, 1, \dots, L_N]$ . De este subconjunto  $V \subset A$  con  $N_E$  elementos, se genera un nuevo conjunto  $DV$  de la misma manera que se generó  $DA$ : combinando cada elemento de  $V$  con elementos mayores que él y después aplicando la operación binaria. El nuevo conjunto tendrá  $N_{DV}$  elementos:

$$N_{DV} = 0,5 \cdot N_E \cdot (N_E - 1) \quad (2.7)$$

La probabilidad de ocurrencias tiene como principio la ecuación 2.4, así como las versiones particulares de cada operación específica.

## 2.3. Parámetros estadísticos observables en DV

De acuerdo con el enfoque clásico, la probabilidad de extraer de forma aleatoria  $N_{DV}$  elementos de un conjunto  $A$  y obtener  $m$  veces un elemento  $k$  es:

$$P(k, m, N_{DV}) = \binom{N_{DV}}{m} \cdot p_k^m \cdot (1 - p_k)^{N_{DV}-m} \quad (2.8)$$

Siendo  $p_k$  la probabilidad de obtener  $k$  en un único intento.

Claramente, en el caso estudiado,  $p_k \equiv P_{DA}(k)$ , el número de elementos esperado para aparecer  $m$  veces es la suma de todas las probabilidades obtenidas de manera individual.

$$N_R(m, N_{DV}) = \sum_{k \in A} P(k, m, N_{DV}) = \binom{N_{DV}}{m} \cdot \sum_{k \in A} p_k^m \cdot (1 - p_k)^{N_{DV}-m} \quad (2.9)$$

Respecto a P.S., si reemplazamos en la ecuación 2.5  $p_k$  por  $P_{DA,PS}(k)$  es posible calcular  $N_{R,PS}$ . Si  $N_{DV} \ll L_N$ , es probable obtener una expresión simple y bastante exacta para  $N_R$ :

$$N_R(m, N_{DV}) \approx \frac{2^m}{m+1} \cdot \binom{N_{DV}}{m} \cdot L_N^{1-m} \cdot \left(1 + \frac{3 \cdot m - 2 \cdot N_{DV}}{L_N + 1}\right) \cdot \left(1 + \frac{2(N_{DV} - m)}{(L_N - 2) \cdot (m + 2)}\right) \quad (2.10)$$

Merece la pena comparar esta expresión con la derivada de la operación XOR, la cual es exacta y mucho más simple:

$$N_{R,XOR}(m, N_{DV}) = \binom{N_{DV}}{m} \cdot \frac{(L_N - 1)^{N_{DV}-m}}{L_N^{N_{DV}-1}} \quad (2.11)$$

## 2.4. Validación del modelo ONLY-SBUs

### 2.4.1. Tests Monte Carlo

El estudio Monte Carlo<sup>1</sup> se realizó para validar las ideas desarrolladas en el [Capítulo 2](#). Fueron seleccionadas 100 direcciones de un grupo de  $2^{21}$  valores para generar  $DV$ s de 4950 elementos usando  $XOR(XORDV)$  y la resta positiva ( $PSDV$ ). Se evaluaron el valor medio ( $\bar{x}$ ) y la desviación típica ( $\sigma$ ). Este proceso se repitió 1000 veces para obtener el valor medio de cada parámetro. Los resultados se muestran en la [tabla 2.2](#), la cual confirma la concordancia entre la teoría y las simulaciones.

	XORDV		RPDV	
	Meas.	Theor.	Meas.	Theor.
	0.4998...	0.5	0.3332...	0.3333...
	0.2887...	0.2887...	0.2349...	0.2357...
Elements appearing...				
Once	4938.24	4938.33	4934.49	4934.39
Twice	5.878	5.827	7.739	7.760
Three times	0.001	0.005	0.01	0.009

Tabla 2.2: Comparación entre las simulaciones Monte Carlo y las predicciones teóricas

Otra propiedad interesante deducida de la ecuación [2.5](#), está relacionada con el número de unos mostrados en los elementos de  $DV$  cuando se expresan de forma binaria (llamados *traza*).

Si se usa la resta positiva es posible determinar esto, el número esperado de elementos en el conjunto  $DV$  conteniendo  $m$  unos en su forma binaria es:

$$N_1(m, N, N_{DV}) \approx \frac{N_{DV}}{2^{N-1}} \cdot \binom{N-1}{m} \quad (2.12)$$

En el caso de usar  $XOR$ , el resultado equivalente es:

---

<sup>1</sup>Los cálculos reflejados en este documento se realizaron en el lenguaje Julia

$$N_{1,XOR}(m, N, N_{DV}) \approx \frac{N_{DV}}{2^{N-1}} \cdot \binom{N}{m} \quad (2.13)$$

Y, siguiendo un procedimiento equivalente, es posible deducir que en el caso de usar AND, el número de elementos con  $m$  unos en el conjunto  $DV$  derivado es:

$$N_{1,AND}(m, N, N_{DV}) \approx \frac{N_{DV}}{4^N} \cdot \binom{N}{m} \cdot 3^m \quad (2.14)$$

En las simulaciones Monte Carlo estos conjuntos  $DV$ s se construyeron 1000 veces, extrayendo 100 direcciones del conjunto  $0, 1, \dots, 2^{21} - 1$ .

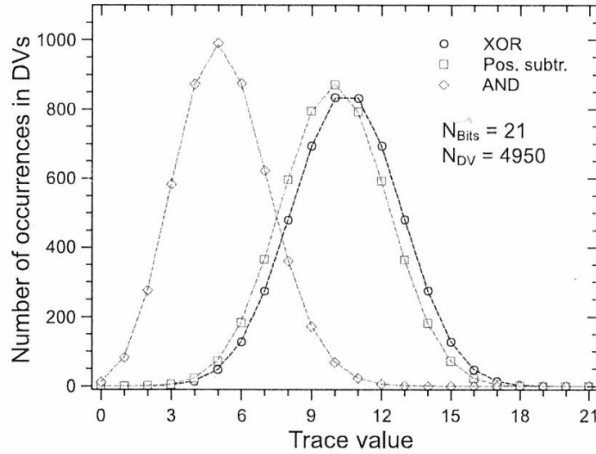


Figura 2.1: Número promedio de ocurrencias de elementos con  $k$  unos en formato binario para diferentes conjuntos DV después de 1000 simulaciones.

La figura 2.1 compara las predicciones teóricas de las ecuaciones 2.12-2.14 con los resultados obtenidos de las simulaciones. La concordancia es casi perfecta.

#### 2.4.2. Resultados de los experimentos actuales

En la subsección anterior, las predicciones teóricas para los sistemas SEU-only han sido respaldadas por simulaciones, es obligatorio comprobar las predicciones del modelo con datos experimentales que provengan de experimentos actuales.

Test	$N_E$	$N_{DV}$	MCU size					
			SBU	2b	3b	4b	5b	6b
090nm/0x00	131	8515	94	11	1	3	0	0
090nm/0x55	120	7140	87	13	1	1	0	0
090nm/0xFF	108	5778	81	9	3	0	0	0
130nm/0x00	115	6670	62	10	5	2	2	0
130nm/0x55	146	10585	100	13	2	2	0	1
130nm/0xFF	129	8385	81	13	2	4	0	0

Tabla 2.3: Eventos observados en experimentos previos

Desafortunadamente, los datos emitidos en los experimentos realizados con las SRAMs modernas tienen una gran fracción de bitflips no relacionados con SBUs. En un trabajo anterior[3], dos SRAMs fabricadas por Cypress Semiconductor, con tecnologías CMOS de 90 & 130 nm (CY62167EV y CY62167DV, ambas con  $N = 21$ ,  $N_W = 8$ ), fueron irradiadas con neutrones 14-MeV en las instalaciones GENEPI2, localizadas en el *Laboratorio de Física Subatómica y Cosmología*, en Grenoble (Francia). Estas memorias se probaron con patrones diferentes (0x00, 0x55, 0xFF) para obtener más de 100 bitflips en cada ronda de lectura. Después, mediante el uso de la información privada del fabricante, del volumen de errores se extrajeron los MCUs, y las direcciones restantes constituían SBUs, las cuales se usaron para construir los dos conjuntos  $DV$ :  $P.S.$  y  $XOR$ . La Tabla 2.4 compara de los dos conjuntos  $DV$  los valores actuales de  $\bar{x}$  y  $\sigma$ , con su valor en la predicción teórica, ambos con alta concordancia entre ellos.

También es interesante investigar en los conjuntos  $DV$  la abundancia relativa de los valores de traza. Esto se muestra en la figura 2.2, la cual analiza los datos obtenidos de la memoria 130-nm con el patrón 0x55, el cual es el conjunto más grande según la Tabla 2.4. Las Ecuaciones 2.12 y 2.13 coinciden perfectamente con los experimentos. Merece la pena señalar el hecho de que la ecuación 2.13 ha sido utilizada por muchos autores como una aproximación a la resta positiva.

Longitud	Patrón	SBUs	R.P.		XOR	
			$\bar{x}$	$\sigma$	$\bar{x}$	$\sigma$
90 nm	0x00	94	0.345	0.242	0.503	0.288
	0x55	87	0.330	0.235	0.499	0.285
	0xFF	81	0.342	0.240	0.502	0.286
130 nm	0x00	62	0.368	0.259	0.506	0.290
	0x55	100	0.337	0.238	0.500	0.287
	0xFF	81	0.365	0.259	0.505	0.293
Teórico			0.333	0.236	0.500	0.289

Tabla 2.4: Datos estadísticos de los conjuntos  $DV$  estudiados en unidades  $L_N$

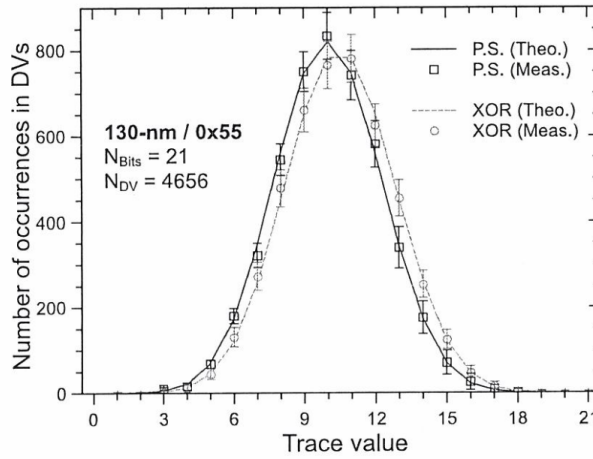


Figura 2.2: Porcentaje de elementos con valores de traza en el conjunto  $DV$  obtenidos de la resta positiva.

La figura 2.2 demuestra que esta aproximación es cercana a los resultados experimentales, pero no es tan precisa como la ecuación 2.12.

El último parámetro estadístico, pero el más importante para las aplicaciones prácticas, es el número de elementos esperados repetidos  $m$  veces en los  $DV$ s para escenarios only-SBUs,  $N_R$ . La Tabla 2.5 muestra los resultados del estudio de tres experimentos de la Tabla 2.4, que emitían el mayor número de SBUs. Conforme al estudio, la mayoría de los valores de los  $DV$ s aparecían solo una vez y algunos de ellos dos veces. Ningún valor aparecía tres o más veces.

A partir del número de ocurrencias es posible determinar el rango donde el número de valores esperados tiene un 95 % de seguridad (explicado en la ecuación 2.2) y se observa que los valores están en concordancia con las predicciones teóricas expedidas en la ecuación 2.10. Conclusiones similares se pueden deducir de la Tabla 2.6, donde para generar el conjunto  $DV$  se utilizó  $XOR$ .

	$N_{DV}$	Rep.	Ocur.	95 %-Conf	Theo.
130 nm 0x55	4656	1	4632	4496-4768	4642.2
		2	12	6.2-20.9	6.87
		3	0	0-3.7	0.008
90 nm 0x00	4186	1	4178	4049-4307	4174.8
		2	4	1.1-10.2	5.55
		3	0	0-3.7	0.005
90 nm 0x55	3655	1	3651	3530-3772	3646.5
		2	2	0.2-7.2	4.23
		3	0	0-3.7	0.004

Tabla 2.5: Repetición de elementos en los conjuntos  $DV$  para sistemas ONLY-SBUs con la Resta Positiva

	$N_{DV}$	Rep.	Ocur.	95 %-Conf	Theo.
130 nm 0x55	4656	1	4644	4507-4780	4645.7
		2	6	2.2-13.1	5.16
		3	0	0-3.7	0.004
90 nm 0x00	4186	1	4174	4045-4303	4177.6
		2	6	2.2-13.1	4.17
		3	0	0-3.7	0.003
90 nm 0x55	3655	1	3655	3534-3776	3648.6
		2	0	0-3.7	3.18
		3	0	0-3.7	0.002

Tabla 2.6: Repetición de elementos en los conjuntos  $DV$  para sistemas ONLY-SBUs con la operación XOR





## Capítulo 3

# Reglas propuestas para descubrir valores DV anómalos e identificar MCUs

Dado que las ecuaciones detalladas en el [Capítulo 2](#) son apropiadas para describir un escenario sólo con SBUs, las desviaciones observadas en los experimentos respecto a sus previsiones son indicios de la presencia de MCUs.

Es necesario definir un criterio para diferenciar causalidad de aleatoriedad. En este documento, en el [Capítulo 2](#), se postula que un fenómeno observado no puede ser atribuido a la aleatoriedad si el número de ocurrencias pronosticado es menor que  $\epsilon_R = 0,05$ . Este umbral se basa en el estándar de 95 % de seguridad usado en muchos campos de la física, y significa que el fenómeno ocurre en 1 experimento de cada 20. El valor de  $\epsilon_R$  es una decisión personal de los autores, por lo que otros investigadores que sigan este método pueden ajustar el valor disminuyéndolo si buscan cálculos más estrictos.

### 3.1. Repeticiones excesivas y autoconsistencia

Supongamos que hemos irradiado una memoria y en  $N_A$  direcciones diferentes reportamos bitflips. Utilizamos este conjunto de direcciones para crear conjuntos  $DV$  con  $XOR$  y  $P.S.$ , y evaluamos el número de veces que cada valor entre 0 y  $L_N$  se repite en cada conjunto  $DV$ . Ya que  $L_N$  y  $N_{DV}$  son conocidos, los cálculos numéricos de las ecuaciones [2.10](#) y

2.11 permiten determinar el valor umbral de  $m$  ( $m_0$ ) desde el cual, el número esperado de elementos repetidos es menor que  $\epsilon_R$ . En consecuencia, los elementos que aparecen en los conjuntos  $DV$  más de  $m_0$  veces no son compatibles con los sistemas only-SBU y se deben atribuir a la ocurrencia de eventos múltiples.

Aunque los valores anómalos de  $DV$  solo vinculan dos direcciones, se pueden recrear MCUs de un tamaño mayor. Así, si dos direcciones  $A_1$  &  $A_2$  están enlazadas por un valor anómalo  $DV_0$ , pero  $A_1$  también está enlazada con otra dirección  $A_3$  con otro valor  $DV_1$ , es evidente que ambos pares deben ser fusionados formando un MCU que involucra las tres direcciones:  $\{A_1, A_2\} \cup \{A_1, A_3\} = \{A_1, A_2, A_3\}$

Desafortunadamente, no todos los valores son apropiados para detectar eventos múltiples debido a un interesante fenómeno: la interacción entre eventos múltiples. Este fenómeno se explica en la Figura 3.1: cuando las direcciones de las celdas de dos MCUs se combinan para crear el conjunto  $DV$ , la ocurrencia de los vectores de desplazamiento respecto a las celdas se ve incrementada de forma anómala.

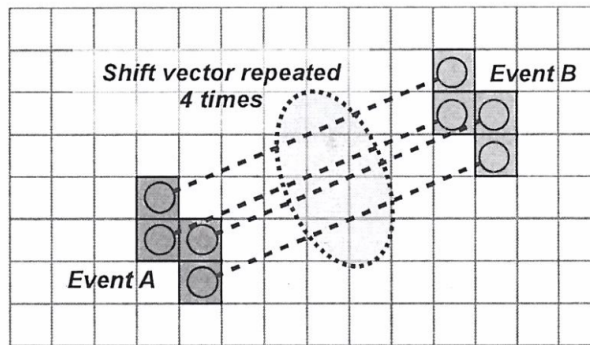


Figura 3.1: Interacción entre MCUs. Cada cuadrado simboliza una celda de memoria. La interacción entre MCUs distantes y con la misma forma puede interpretarse como valores repetidos de manera anómala en el conjunto  $DV$ .

Para evitar este problema, en trabajos anteriores[3] se propuso el no tomar nunca más de 15 valores. Esta figura se obtuvo después de realizar algunos tests prueba-error pero depende en gran medida de la voluntad del investigador. En el documento actual, se propone un nuevo camino para evitar la selección de falsos indicadores de MCUs sin la intervención de investigadores. Se ha llamado a esta idea “*self-consistency*”. En la Figura 3.1, se puede observar que los vectores de desplazamiento aparecen 4 veces, exactamente el tamaño de los MCUs. Esto proporciona una pista para desestimar falsos positivos: los valores repetidos de forma anómala son útiles, sí y sólo si, están repetidos más veces que el tamaño del MCU propuesto más grande.

Esta regla es válida tanto para *XOR* como para R.P.. La regla es iterativa. En primer lugar, se selecciona el elemento más repetido en el conjunto *DV* y se identifican las direcciones involucradas. Después, se selecciona el segundo elemento más repetido, se añade al conjunto preliminar de valores *DV* anómalos, y se reclasifican las direcciones. Este proceso continúa hasta que se viola el principio “*self-consistency*”.

Esta regla es democrática. Esto significa que si varios elementos *DV* que aparecen el mismo número de veces, todos ellos deberían ser añadidos como un todo al conjunto preliminar de valores *DV* anómalos o no añadir ninguno. También, si el principio “*self-consistency*” se viola después de agregar los elementos, todos ellos deberán ser eliminados. Además, esta regla puede ser aplicada independientemente de que sean conjuntos *DV XOR* o *P.S.* Una vez que sean procesados ambos conjuntos, es obligatorio combinar los resultados para obtener el conjunto más grande posible de pares de direcciones.

Vamos a ejemplificar el procedimiento con los resultados del test 130nm/0x00 del Cuadro 2.3, donde 115 direcciones se han visto afectadas por errores. En este caso,  $N_{DV} = 6670$ . Por lo tanto, la ecuación 2.11 predice que en el conjunto *XORDV* aparecen 2 veces  $\sim 10.57$  elementos, y aparecen 3 veces 0.011 elementos. Para la resta positiva, la ecuación 2.10, predice 14.07 y 0.022 elementos. Usando el umbral  $\sigma_R$  no debería haber eventos repetidos 3

o más veces en ambos conjuntos de  $DV$ . De todas formas, las predicciones no concuerdan con los datos experimentales, como muestra la Tabla 3.1. Por lo tanto, tiene que haber algo además de los SUBs: la existencia de eventos múltiples.

XOR		Resta Positiva	
Valor	Ocurrencias	Valor	Ocurrencias
0x010001	22	0x0FFFFF	14
0x010101	14	0x000100	13
0x000100	13	0x010001	8
25 elementos	4	0x0FEFF	5
		0x25B7E	4
90 elementos	3	0x09C382	4
		13 elementos	3

Tabla 3.1: Elementos en exceso en el conjunto  $DV$  para 130-NM/0x00

El concepto “self-consistency” será aclarado paso a paso en la Tabla 3.2, para los resultados que implican a la resta positiva en el Tabla 3.1. Inicialmente, el conjunto de valores anómalos usados para la clasificación está vacío y los elementos más repetidos son añadidos tras sucesivos pasos. Después de cada paso, se organizan los bitflips (Columnas *SEUs* (*tamaños de eventos vs. apariciones*)) y se verifica la “self-consistency”. Sólo en la quinta etapa algo va mal: Se propone un MCU de 8-bits, pero los valores anómalos que fueron añadidos solo aparecen cuatro veces. Por consiguiente, se viola el principio “self-consistency”. Como consecuencia, estos elementos se deben eliminar del conjunto de valores anómalos, se debe recalcular conjunto de MCUs y el procedimiento debe detenerse. La regla de “self-consistency” resultó ser más preciso que la primera propuesta de no coger más de 15 valores [1]. Por ejemplo, en el caso de 130 nm/0x00, *0x25B7E* y *0x9C382* habrían sido aceptadas a pesar del hecho de que no se corresponden con direcciones cercanas entre ellas y por tanto no pueden corresponder a un mismo MCU.

Tamaños de los eventos vs. ocurrencias									
Step	Valor	Rep.	1	2	3	4	5-7	8	S.C.?
1	0x0FFFF	14	87	14	0	0	0	0	Sí
2	0x00100	13	73	11	4	2	0	0	Sí
3	0x10001	8	66	9	5	4	0	0	Sí
4	0x0FEFF	5	66	9	5	4	0	0	Sí
5	0x25B7E	4	66	9	5	0	0	1	NO
	0x9C382								

Tabla 3.2: Aplicación de la regla self-consistency para 130-NM/0x00

La técnica de clasificación de SBU/MCU propuesta en este documento combina las clasificaciones de rendimiento tanto de *XOR* como de la resta positiva. La clasificación combinada es significativamente más precisa que las clasificaciones de forma separada. Así, por ejemplo, en el caso del test de 90 nm/0x55 los valores *DV* anómalos de XOR permitieron clasificar 120 direcciones en 96 SBUs y 12 MCUs de 2-bits. La resta positiva produjo 99 SBUs, 7 MCUs de 2-bits, 1 MCU de 3-bits, y 1 MCU de 4-bits. Después de la combinación, la propuesta fue mucho más precisa: 89 SBUs, 12 MCUs de 2-bits, 1 MCU de 3-bits, y 1 MCU de 4-bits si comparamos con los valores reales mostrados en la Tabla 2.3.

## 3.2. Combinación de datos de diferentes experimentos

A veces, los experimentos se repiten en condiciones idénticas o similares debido a diferentes razones: la verificación de la repetición del test, cambios en el tipo de partícula o su energía, etc. En esta situación, los datos que provienen de distintos resultados pueden ser combinados para mejorar la clasificación de los eventos.

Supongamos que vamos a realizar varios experimentos sobre una memoria obteniendo diferentes conjuntos de direcciones con bitflips. Les llamaremos *A*, *B*, *C*, etc. Es inmediato que los valores *DV* críticos, tanto para *XOR* como para la resta positiva, sean válidos para otros experimentos desde que estos valores son solo relacionados con la estructura interna

de la SRAM y no con el tipo de radiación. La unión de los diferentes conjuntos de valores anómalos puede usarse para reclasificar los bitflips de cada uno de los conjuntos de direcciones aislados. Por ejemplo, en el caso de la memoria de 130-nm, los siguientes valores anómalos se observaron en la resta positiva:  $\{0x256, 0x65279, 0x65535, 0x65537\}$  del patrón  $\{0x00, 0x65535, 0x524032, 0x589567\}$  del 0x55, y  $\{0x65535, 0x65537, 0x262400, 0x524032\}$  de 0xFF. Claramente, la unión de estos conjuntos,  $\{0, 256, 0x65279, 0x65535, 0x65537, 0x262400, 0x524032, 0x589567\}$  es mejor que los conjuntos separados parcialmente.

Todavía hay otra manera de mejorar los resultados combinando resultados de distintos experimentos si estos se realizan en condiciones idénticas. Debemos tener en mente que el tratamiento de datos se basa en la suposición de que datos aleatorios son recogidos de un conjunto  $DA$  enorme. No importa como se seleccionan los datos.

De hecho, en el Capítulo 2 no está postulada la manera de seleccionar los datos. Por lo tanto, si seleccionamos  $N_{DV1}$  elementos en una primera ronda y  $N_{DV2}$  elementos en la siguiente, la unión de los dos conjuntos es un nuevo conjunto de  $N_{DV1} + N_{DV2}$  elementos elegidos de manera aleatoria que cumplen las condiciones del Capítulo 2. El histograma con el número de ocurrencias relacionado con este nuevo conjunto es la adición de los histogramas parciales.

La principal ventaja de combinar datos de diferentes experimentos es que se mitiga la posibilidad de confundir las fluctuaciones aleatorias, con la presencia de valores  $DV$  anómalos. La teoría estadística muestra que si el número de repeticiones en un único experimento se distribuye entre  $m \cdot (1 \pm \Delta\alpha)$ , la suma de  $n$  experimentos similares nos dirigirá a  $\sim n \cdot m \cdot (1 \pm \Delta\alpha/\sqrt{n})$ . Mientras tanto, el número de ocurrencias  $DV$  anómalas es proporcional a  $n$  por lo que son más fáciles de localizar.

También, la abundancia de valores  $DV$  anómalos causada por la interacción entre MCUs se mitiga si se combinan datos de diferentes experimentos.

### 3.3. La regla del patrón

La ocurrencia de valores *DV* anómalos relacionados con MCUs tienen una fuerte dependencia con el patrón de escritura. Los elementos *DV* difíciles de reconocer en un experimento pueden ocurrir varias veces en otras rondas después de cambiar el patrón. Por lo tanto, se aconseja el uso de varios patrones en experimentos diferentes para sacar a la luz estos valores. Después, los conjuntos diferentes descubiertos de valores *DV* anómalos se unen para clasificar las direcciones en pares.

Sin embargo, en este caso, donde ambas operaciones (*XOR* y R.P.) están involucradas, se ha descubierto que es contraproducente unir conjuntos *DV* con patrones diferentes como se explica en el Capítulo 4.2. La razón es que algunos elementos con valores anómalos aparecen muchas veces con un patrón pero pocas con los demás patrones, de tal manera que así la suma de ocurrencias se compensa, haciendo imposible discernir el exceso de ocurrencias con fluctuaciones aleatorias.

Por lo tanto, el conjunto de datos experimental se debe dividir en subconjuntos más pequeños según el patrón y estos se deben estudiar independientemente.

### 3.4. La regla de la traza

Las memorias típicas se diseñan modularmente usando bloques de unidades (unit blocks) que se multiplexan usando los bits de dirección. Esto significa que las celdas adyacentes normalmente comparten una gran parte de los bits de dirección. Cuando a estas direcciones se les aplica la operación *XOR*, el elemento *DV* resultante tendrá muchos ceros y muy pocos unos en su forma binaria. Por ejemplo, en la memoria 90-nm, la regla de auto-consistencia emitía 0x00002, 0x00006, 0x0C000, 0x0E000 con no más de 3 unos en 21 bits. Por lo tanto, la abundancia anómala de elementos con un bajo valor de traza en el conjunto *XORDV*



señala la ocurrencia de MCUs.

La idea de esta regla es simple: es necesario buscar los elementos con un bajo valor de traza en el conjunto  $XORDV$  y verificar si estos elementos aparecen más de lo esperado. En nuestros experimentos decidimos buscar elementos con una traza menor o igual que 3 y que aparecieran  $m_0$  o más veces en el conjunto  $XORDV$ . ( $m_0$  fue definido en el Capítulo 4.1.)

### 3.5. La regla de XOR

Otra consecuencia interesante de la organización modular de muchas SRAMs es que se pueden extraer nuevos valores  $XORDV$  anómalos realizando la operación  $XOR$  sobre otros valores  $XORDV$  confirmados. En [Capítulo 3](#) de este documento, el siguiente escenario fue despreciado: Después de un experimento, fue construido un conjunto  $DV$  con un conjunto de valores  $XORDV$  anómalos,  $AXORDV$ , después de aplicar unas reglas previas. Entonces, si un elemento  $K \in XORDV$ ,  $K \notin AXORDV$ , y ocurre una de las siguientes tres condiciones:

- Puede expresarse como  $K = C_1 \oplus C_2$  con  $C_1, C_2 \in AXORDV$
- $K \oplus C_1 = C_2$  con  $C_1, C_2 \in AXORDV$
- $K \oplus K_2 = C_1$  con  $C_1 \in AXORDV$ , y  $K_2 \in XORDV$

Entonces, el elemento  $K$  es candidato de ser otro elemento a añadir al conjunto  $AXORDV$ . El problema en el supuesto inicial de la regla era que no hay una manera de determinar si la ocurrencia se acababa de emitir por aleatoriedad, o por el contrario, era una secuela de la estructura interna. Por lo tanto se propone sólo aceptar aquellos elementos descubiertos con estas operaciones pero que también aparecen  $m_0$  veces o más. Además, la aplicación de la regla en varios conjuntos de experimentos muestra que la tercera regla generalmente es improductiva y requiere mucho tiempo de cómputo.

### 3.6. La regla de los MCUs preliminares

En subsecciones previas, se han propuesto varias reglas para identificar pares de direcciones relacionadas por valores  $DV$  anómalos. Esto permite agrupar las direcciones en SBUs o MCUs de multiplicidades diferentes.

En un MCU  $p$ -bit, es posible determinar  $0,5 \cdot p \cdot (p - 1)$  valores  $DV$  que relacionan celdas cercanas para cada operación. Así, por ejemplo, en un MCU 4-bit es posible calcular 6 valores  $XORDV$  y los otros 6 valores  $PSDV$  que provienen de las direcciones involucradas. Es posible que después de aplicar reglas previas, algunos de estos valores  $XORDV$  o  $PSDV$  no se hayan descubierto (por ejemplo, como consecuencia de que previamente haya sido violada la regla de auto-consistencia). Por lo que esta regla propone incluirlos en el conjunto de valores  $XORDV$  o  $PSDV$  anómalos, si estos aparecen más de  $m_0$  veces.

En consecuencia, después de una identificación preliminar de los MCUs, estos deben analizarse a fondo para acumular más valores  $DV$  críticos. Desafortunadamente, la aplicación de esta regla en los conjuntos irradiados del conjunto  $PSDV$  nos conduce a falsos positivos que relacionan direcciones que no son cercanas físicamente. Esta regla solo funciona correctamente en la detección de elementos nuevos en  $XORDV$ .

Esta regla es iterativa. Después de cada búsqueda de nuevos valores  $XORDV$ , la organización de los eventos múltiples puede cambiar: aparición de nuevos MCUs 2-bit, crecimiento de algunos MCUs, unión de dos MCUs pequeños para producir uno más grande... Después de que se identifica un nuevo MCU, los nuevos valores  $XORDV$  potenciales se deben analizar hasta que no se descubran nuevos elementos. Una vez sucede esto, termina la ejecución de esta regla.

A continuación, se muestra el algoritmo desarrollado para la extracción de MCUs.

---

**Algorithm 1** Proposed methodology to extract MCUs

---

**Input:** of affected addresses:  $Addr_1, Addr_2, \dots, Addr_n$

**Output:** Set of MCUs: MCUs

Iterate on the input sets of addresses  $Addr_i$  obtained in several rounds of reading, by checking different patterns (Pattern Rule)...

**for each** Addr **do**

  #Step 1: Create  $DV_s$  and initialize MCUs set.

$XORDV = \text{CreateXORDV}(Addr)$ ;

$PSDV = \text{CreatePSDV}(Addr)$ ;

$MCUs = \emptyset$ ;

  #Step 2: Study od DVs by applying Equation (10)

$XCandidates = \text{InExcess}(XORDV, 0, 05)$

$Candidates = \text{InExcess}(PSDV, 0, 05)$

  #Step 3: Apply Self-consistency in XORDV

$AXORDV = \emptyset$

$violatedSelfConsistency = FALSE$ ;

**while**  $violatedSelfConsistency == FALSE$  **do**

$newCandidates = \text{getMostRepeated}(XCandidates)$ ;

$\text{updateSet}(\&XORDV, newCandidates)$ ;

$newCandidates = \text{getMostRepeated}(XCandidates)$ ;

$\text{updateMCUs} = \text{updateMCUs}(MCUs, AXORDV)$ ;

**if** ( $\text{numberOfOccurrences}(NewCandidates, XORDV) >$

$\text{sizeLargestMCU}(UpdatedMCUs)$ ) **then**

$MCUs = \text{updatedMCUs}$ ;

**else**

$violatedSelfConsistency = TRUE$ ;

**end if**

**end while**

  #Step 4: Self-consistency in PSDV: Similar to Step 3

  #will create the set APSDV and update MCUs again

  #Step 5: Trace rule in XORDV

$newCandidates = \text{extractLowTrace}(XCandidates)$ ;

$\text{updateSet}(\&AXORDV, newCandidates)$ ;

**end for**

  #Step 6 : Xoring rule

$newCandidates = \text{XORRule}(AXORDV, XCandidates)$ ;

$\text{updateSet}(\&AXORDV, newCandidates)$ ;

  #Step 7 : Update MCUs with AXORDV and PSDV sets

$MCUs = \text{updateMCUs}(MCUs, AXORDV)$ ;

$MCUs = \text{updateMCUs}(MCUs, APSDV)$ ;

  Step 8 : Preliminary MCU Rule

**for each**  $MCU_i$  in MCUs **do**

$\text{allXValues} = \text{extractXValues}(MCUs)$ ; 29

$\text{updateSet}(\&AXORDV, \text{allXValues}, XCandidates)$ ;

**end for**

$MCUs = \text{updateMCUs}(MCUs, AXORDV)$ ;

**return**  $MCUs$ ;

---



# Capítulo 4

## Herramienta

Nuestra herramienta consta de dos partes: un programa que aplica el algoritmo explicado anteriormente sobre unos archivos elegidos que contienen datos para obtener los SBUs y los MCUs, y una interfaz gráfica que ejecuta el programa mencionado anteriormente y que dibujando el hardware muestra los puntos exactos de la memoria donde han sucedido dichos eventos.

### 4.1. Entorno de desarrollo

#### 4.1.1. Entorno software

Para la realización de este proyecto nos hemos apoyado fundamentalmente en dos plataformas para la implementación del programa. Eclipse, una plataforma de integración de herramienta para el desarrollo de código abierto, y xCode, otro entorno de desarrollo integrado exclusivo para macOS. Ambas plataformas soportan el lenguaje C, el cual usaremos para el programa principal.

Para la realización de la interfaz gráfica por otra parte, hemos usado en este caso un framework multiplataforma orientado a objetos denominado Qt, utilizando como lenguaje de programación C++ ya que es su lenguaje de programación nativo.

### 4.1.2. Eclipse

Eclipse es un entorno de desarrollo integrado (*Integrated Development Environment, IDE*) compuesto por un conjunto de herramientas de programación de código abierto multi-plataforma. Consta de un workspace sobre el que trabajar y un amplio conjunto de plug-ins que nos permiten personalizar el entorno. Aunque nosotros lo hayamos utilizado para escribir un programa en C, esta plataforma ha sido típicamente usada para desarrollar entornos de desarrollo integrados (IDE), como el IDE de Java (JDK). También, mediante la instalación de plug-ins permite desarrollar código en Ada, ABAP, C, C++, C#, COBOL, D, Fortran, Haskell, JavaScript, Julia, Perl, PHP, Python, R, Ruby... Eclipse posee una licencia denominada Eclipse Public License, una licencia de software libre pero que es incompatible con la Licencia pública general de GNU.

### 4.1.3. xCode

xCode es un entorno de desarrollo integrado para el sistema operativo macOS que contiene una serie de herramientas para desarrollo de software desarrolladas por Apple.

Xcode también cuenta con compiladores del proyecto GNU (GCC), y permite compilar código de diferentes lenguajes: C, C++, Swift, Objective-C, Objective-C++, Java... Cuenta con una herramienta que permite la creación de interfaces de usuario, Interface Builder, pero nosotros decidimos usar Qt al parecernos más intuitiva y amigable.

### 4.1.4. Qt

Qt es un framework multiplataforma orientado a objetos. Su utilidad principal es el desarrollo de programas que requieran de interfaz de usuario.

Es muy cómoda a la hora de diseñar interfaces gráficas porque cuenta con un modelo de programación que te permite añadir objetos o widgets de una manera tan sencilla como

simplemente seleccionar el objeto y arrastrarlo al lugar en el que lo quieres colocar. Para implementar relaciones entre objetos se crean señales que los comunican dependiendo de la acción que se realice en cada uno de ellos. Qt utiliza el lenguaje de programación C++ de forma nativa, pero también puede ser utilizado con otros lenguajes de programación haciendo referencia a otras bibliotecas. Qt es desarrollada como un software libre y de código abierto y está distribuida bajo los términos de GNU LGPL

## 4.2. Desarrollo

Para el desarrollo del proyecto no hemos partido de cero, hemos continuado con la última versión del proyecto presentado en [1] por nuestros directores entre otros autores, cuyo apoyo, indicaciones y dedicación, ya sea a través del documento, el programa inicial, como de reuniones, nos ha facilitado el trabajo.

El proyecto se apoya en un programa desarrollado en lenguaje Julia, el cual carece de una interfaz gráfica con la que interactuar y se ejecuta por consola, haciendo que sea menos atractiva para el usuario a la hora de trabajar, más difícil de operar con ella y hay que tener presente la funcionalidad de los comandos. Con el fin de mitigar esta carencia, hemos optado por utilizar un framework multiplataforma orientado a objetos denominado QT, para desarrollar la parte gráfica, la cual facilitará la interacción del usuario con el sistema de una forma más sencilla.

### 4.2.1. Julia

Julia es un lenguaje de programación homocónico, multiplataforma y multiparadigma de tipado dinámico de alto nivel y alto desempeño para la computación genérica, técnica y científica, con una sintaxis similar a la de otros entornos de computación similares. Dispone de un compilador avanzado (JIT), mecanismos para la programación en entornos distribuidos

y de una amplia biblioteca de funciones matemáticas. Esta biblioteca está desarrollada en Julia, pero también contiene código desarrollado en C o Fortran.

#### 4.2.2. C

C es un lenguaje de programación orientado a la implementación de Sistemas Operativos, concretamente Unix, nacido en 1972. El código producido en este lenguaje es muy eficiente, por lo que aunque el lenguaje sea “antiguo” sigue siendo muy utilizado para crear aplicaciones. Se trata de un lenguaje de tipos de datos estáticos, débilmente tipificado, de medio nivel, porque cuenta con componentes como las estructuras de alto nivel, y también permite construcciones del lenguaje que permiten un control a muy bajo nivel. Los compiladores suelen brindar extensiones al lenguaje que permiten la mezcla de código C con código ensamblador, el acceso directo a memoria o a dispositivos de entrada y/o salida.

Si los programas creados en este lenguaje siguen sus estándares, el código es totalmente portable entre plataformas y arquitecturas.

##### **Ventajas:**

- Es un lenguaje muy eficiente gracias a que tiene la posibilidad de realizar implementaciones de bajo nivel.
- Existen compiladores para prácticamente todos los sistemas, por lo que es altamente portable.
- Cómodo para la realización de programas modulares y utilizar código de bibliotecas existentes.
- Disminución del tiempo de ejecución.



### **Inconvenientes:**

- Velocidad de desarrollo por parte del programador dada la complejidad del lenguaje.
- Reserva y liberación de memoria, ya que C no cuenta con un gestor automático que facilite este proceso.
- Mantenimiento de los programas más costoso y difícil.
- El uso de punteros y direcciones de memoria requiere tiempo y es un proceso delicado.

## **4.3. Modificaciones**

El primer paso a la hora de abordar este proyecto es realizar una fase de análisis en la cual nos de familiarizamos con las diferentes técnicas existentes para discernir los errores y definiremos los contenidos y funcionalidades. Estas técnicas se encuentran en lenguaje Julia y debemos adaptarnos al nuevo lenguaje y aprender a usar la plataforma propia de Julia. Consta de una consola propia desde la cual se ejecuta el programa y arroja los distintos resultados.

Una vez nos adaptamos a este lenguaje, comienza el proceso de creación de nuestro propio programa. Para ello establecemos una fase de diseño, en la que decidimos el conjunto de estructuras que representarán los datos necesarios y el detalle procedimental del programa, todo ello con el objetivo de facilitar nuestro trabajo y mejorar la ordenación de los archivos. El proyecto contiene tres archivos, divididos en un programa principal *main.c*, el cual tendrá las llamadas a las principales funciones y además generará los distintos archivos con los resultados y conclusiones finales. También, creamos otro archivo *lib.h* el cual hace de biblioteca y contiene todas y cada una de las funciones específicas implementadas para la obtención de los cálculos mencionados en el Capítulo 2. Y también, un archivo *Struct.h* el cual contiene las estructuras de matrices, vectores, etc, que iremos creando conforme avan-

zamos en el código.

Finalmente, comienza la fase de implementación, en la cual crearemos nuestro programa en código C y desarrollaremos las distintas funciones y algoritmos. Como fruto, obtendremos un programa fuente, que una vez compilado, dará lugar a nuestro ejecutable.

Por otro lado hay otra fase más de diseño, en la cual plantearemos cómo será nuestra interfaz gráfica y qué se va a encontrar el usuario al ejecutarla. A la hora de diseñar una buena interfaz gráfica enfocada al usuario es necesario tener claro los objetivos del hipertexto, teniendo en cuenta no sólo lo que se persigue ofreciendo información, sino las necesidades que van a tener los usuarios a la hora de consultarlo. Es por ello que hemos creado una interfaz sencilla, la cual cuenta con una pantalla principal en la que podemos observar que archivo estamos ejecutando, la gráfica correspondiente con las direcciones que contienen fallos y más opciones que detallaremos en el punto 4.6. Como hemos mencionado durante el proyecto, hemos desarrollado esta interfaz usando el framework Qt, el cual usa el ejecutable generado por nuestro programa principal para obtener los resultados y plasmarlos de una forma más agradable.

Con este tipo de modificaciones conseguimos una optimización del código, mejoras en el tiempo de ejecución del programa frente a Julia, también se disminuye el espacio de memoria utilizado con el uso de memoria dinámica, la cual se reserva en tiempo de ejecución y su tamaño varía en función de lo que requiera el programa.

#### **4.3.1. Optimización**

La optimización de código constituye un elemento importante en el desarrollo de nuestra herramienta, que proporciona mejoras considerables que permiten un mayor acercamiento

al éxito de esta. Nuestro objetivo con esta optimización radica en maximizar la eficiencia temporal, es decir, mejorar el tiempo de ejecución y espacial, mejorar el espacio de memoria utilizado permitiendo reorganizar todo el código de manera limpia, eficiente y correcta.

Hemos optimizado el código mejorando ciertas evaluaciones de expresiones y sentencias más específicas. También hemos eliminado código muerto que no se utilizaba lo cual hace que favorezca el tiempo de ejecución y espacio de memoria. Reducimos el número de variables innecesarias dentro de bucles y reutilizamos aquellas que son posibles. Se han dividido funciones en otras más específicas dependiendo del tipo de dato que procesan y devuelven, así como de la creación de otras más genéricas con el fin de no repetir código. Debido a que el programa genera y maneja un gran número de matrices de distintos rangos y dimensiones, también se ha generado un archivo `structs.h` en el que se definen distintas estructuras de diferentes tipos y datos que se hacen referencia a ella desde el programa principal. Gracias a esto conseguimos una mejor estructuración del código, además de una optimización a la hora de definir o usar nuevas variables, pudiendo hacer referencia a las ya creadas y almacenadas anteriormente.

### 4.3.2. Mejoras

En este proyecto contemplamos dos importantes mejoras principales con respecto al programa desarrollado en Julia. La primera mejora tiene que ver con el procesamiento de la información, mientras que Julia procesa la información con una gran biblioteca de funciones, en C debemos crear los distintos métodos necesarios para poder realizar las mismas funciones. Esto hace que nuestra herramienta sea más potente, ya que sólo comprobamos lo que necesitamos. Es por ello que hace que sea más eficiente ya que podemos usar sus características de bajo nivel para realizar implementaciones óptimas. Por consiguiente, ob-

tenemos una reducción muy considerable tanto en el tiempo de ejecución como en el uso de la memoria.

Como podemos observar en la Tabla 4.1, al utilizar memorias de 90-NM conseguimos que el tiempo de cómputo del programa sea hasta 3 veces más rapido que el del programa inicial. También obtenemos una reducción en el uso de memoria considerable, logrando una disminución de más de la mitad en la mayoría de los experimentos. Para este tipo de experimentos, el uso de la memoria es muy importante, ya que al trabajar con un gran volumen de datos es fundamental administrar correctamente el uso de memoria, evitando problemas de falta de memoria.

	Julia		C	
	Tiempo s	RAM	Tiempo s	RAM
90-NM / NTS	3.099454	320 MB	0.895101	90.3 MB
90-NM / TS	3.094372	320 MB	0.685183	90 MB
130-NM / NTS	4.197029	480 MB	3.123077	172.2 MB
130-NM / TS	3.9238125	400 MB	1.928815	172.1 MB

Tabla 4.1: Comparación de tiempos y uso de la memoria en la ejecución de los distintos programas

Otra mejora que destaca considerablemente es la incorporación de una interfaz gráfica. Con ella se consigue una mejor visualización generalizada del programa. Mientras que en Julia se ejecutaba el programa a través de la consola del sistema confiriendo al usuario un medio muy poco amigable con el que trabajar, con Qt disponemos de una ventana sencilla, concisa, con efectos de relieve y botones para realizar distintas funciones, mucho más accesible, afable e intuitiva para cualquier persona que quiera interactuar y trabajar con la herramienta de una forma mucho más sencilla.

## 4.4. Problemas

Como es de esperar tambien hemos encontrado problemas a medida que desarrollábamos el proyecto. El primer problema tiene que ver fundamentalmente con la elección del lenguaje de programación. A pesar de las numerosas ventajas que tiene el lenguaje C, Julia cuenta con un gran numero de librerías y funciones matemáticas para la realización de los distintos cálculos matemáticos del algoritmo, los cuales no existen en C, lo que hace que utilicemos parte del tiempo en pensarlas y programarlas en vez de no preocuparnos por cómo se hacen, si no simplemente entender cómo usarlas con el fin de obtener el mismo resultado.

El lenguaje Julia cuenta con un tipado dinámico, es decir, qué no hace falta especificar que tipo de variable queremos crear, pudiendo tomar valores de distinto tipo en distintos momentos, lo cual nos dificultaba conocer los tipos. También hay que mencionar que las conversiones de tipos numéricos tampoco se encuentran en C.

Otro problema surgió a la hora de integrar el código generado en lenguaje C del programa principal con la interfaz grafica, diseñada e implementada con lenguaje C++. La solución fue sencilla ya que generamos un ejecutable del programa y la propia interfaz se encarga de ejecutarlo.

## 4.5. Pasos del programa

El primer paso que realiza nuestro programa es la creación de una matriz de tiempos para mantener un seguimiento sobre el tiempo empleado en realizar las determinadas tareas que se llevan a cabo durante la ejecución de éste. Posteriormente, con los tiempos registrados, pueden conocerse las marcas de tiempo en las que se ha efectuado cada paso del programa. Primordialmente, su uso se limita a conocer el tiempo total de ejecución del programa.

El siguiente paso es obtener y leer los datos proporcionados por los investigadores sobre

las diferentes características del experimento y las direcciones de memoria obtenidas en éste. Estos datos se encuentran en archivos Julia o de extensión “.jl”. Mediante una función se parsean todos los valores que contiene dicho archivo, obteniendo el número de bits de dirección, el ancho de palabra, el número de bits por bloque y el archivo “.csv” del que se adquieren las direcciones asociadas a los distintos tests y cuántos tests son. Además, del archivo anterior, también podrían obtenerse conjuntos de valores anómalos previamente declarados por el usuario del programa.

```
const NbitsAddress=21;
const NWordWidth=8;
const Nbits4blocks = 0;

const Pattern = [
1 0x00
2 0x55
3 0xFF
];

const PreviouslyKnownXOR=[
#0x000100
#0x010001
#0x010101
];

const PreviouslyKnownPOS=[
#256
#65535
];

Content=round(UInt32, readcsv("DATA/CY62167_130nm_TS.csv"))
```

Figura 4.1: Ejemplo de archivo .jl para experimento sobre 130nm.

Seguidamente, se comprueba que todos los datos recolectados anteriormente son correctos para seguir con la ejecución del programa. Se guarda el número de direcciones válidas de cada test y se calculan las variables  $L_N$  (rango total de las direcciones) y  $N_{DV}$  (número de elementos del conjunto  $DV$  para cada test).

A continuación, se obtiene el conjunto  $DV$  tanto para la resta positiva como para la operación  $XOR$ , y con este conjunto, se conoce el número de repeticiones de los elementos de cada test para la resta positiva y para la operación  $XOR$ . Este número de repeticiones se representa en un histograma para cada operación.

Conocidos los datos anteriores, se inicia la búsqueda de los valores con repeticiones anómalas, aplicando la regla "self-consistency"<sup>en</sup> todos los tests, y alcanzando todos los valores

anómalos. Luego, se aplica la regla de la traza, pero únicamente a las repeticiones anómalas y los valores anómalos obtenidos con la operación *XOR*. Posteriormente, si existieran valores declarados por el usuario, este sería el punto del programa donde se realizaría la unión de estos valores con los obtenidos en el punto anterior.

Después, sobre los conjuntos de datos se aplica por primera vez la regla de los MCUs preliminares, que permitirá agrupar los elementos en SBUs o MCUs de diferentes multiplicidades al obtener nuevos valores.

Se aplicará la regla de *XOR* sobre el conjunto de valores anómalos *XORDV* obtenido en el paso anterior que dará lugar a otro conjunto más.

Se repite el empleo de la regla de los MCUs preliminares sobre el último conjunto de la resta positiva y el de la operación *XOR* para obtener finalmente los dos conjuntos definitivos, de los que se lograrán los MCUs que suceden en los distintos tests.

Para terminar, conociendo los MCUs, se podrá aplicar una función para conocer en qué test han sucedido, localizarlos en la memoria y conocer sus bitflips.

Finalmente, se arrojan como resultados de la ejecución del programa, dos archivos y un ejecutable. El primer archivo, llamado *affectedAdresses*, contiene los resultados de los MCUs detectados en los distintos test que se han realizado conteniendo la fecha y hora en la que ha sido generado con el fin de llevar un registro de las pruebas. El otro archivo denominado *results.txt*, contiene la misma información que el anterior, pero preparada para que desde la interfaz gráfica se lea con más facilidad.

## 4.6. Funcionalidades de la interfaz

Como bien hemos mencionado numerosas veces a lo largo de este documento, se ha creado una interfaz sencilla y amigable con el fin de que el usuario pueda interactuar de forma más sencilla con la herramienta, pudiendo ejecutarla sin problemas y sin mayores dificultades.

des.

Al ejecutar el programa, la interfaz gráfica contiene una ventana principal sencilla en la que encontramos un botón para poder elegir el archivo de datos que se quiere procesar además del correspondiente menú superior con botones de cerrar, maximizar y minimizar la ventana.

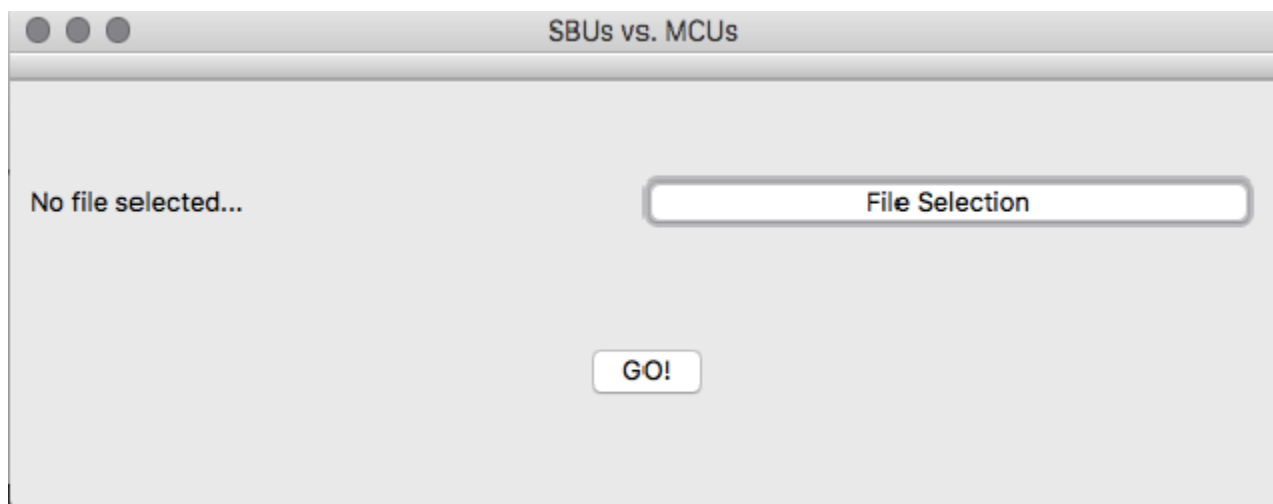


Figura 4.2: La ventana contiene un botón y un label en el que aparecerá el archivo elegido.

Al pulsar sobre el botón de abrir archivo, aparecerá una ventana nueva que descubre el explorador de archivos por donde movernos a través de todo el directorio de nuestro ordenador y seleccionar el archivo deseado para ejecutar nuestro experimento.



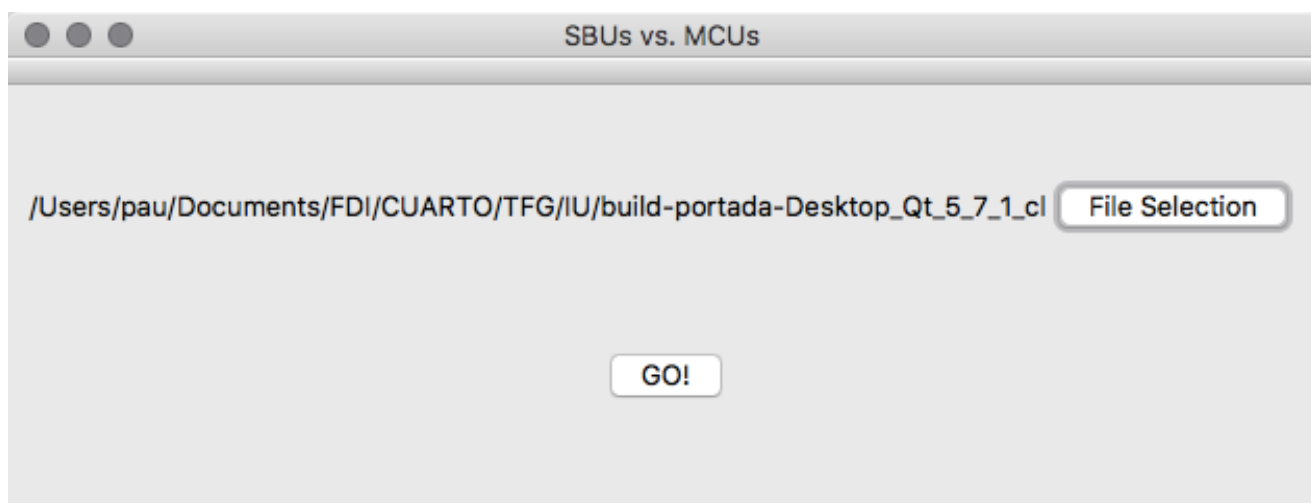


Figura 4.3: El fichero elegido se ha cargado en el label.

Una vez seleccionado el archivo, se actualiza una etiqueta label que muestra el nombre y la ruta en la que se encuentra el archivo y éste aparecera en la primera ventana mostrada. A continuación, al pulsar el botón de comienzo se ejecutará el programa principal con el archivo seleccionado.

Después, aparecerá una ventana nueva que contiene un dibujo de la memoria SRAM repartido en filas y columnas y se marcan sobre ella los puntos donde aparecen MCUs y la cantidad de los bits que los forman.

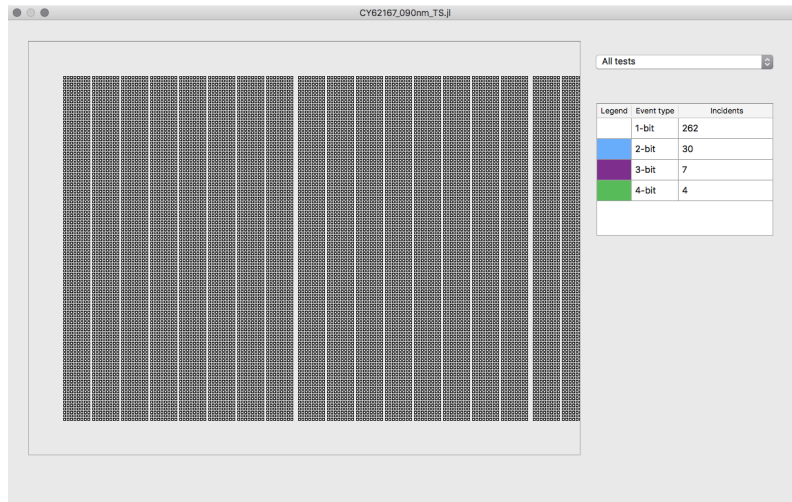


Figura 4.4: Visualización de las celdas de la memoria SRAM y localización de MCUs.

También se puede observar en la parte derecha de la ventana, una tabla que contiene una leyenda con los colores en los que aparecen los bits, los tipos de eventos que detectamos y el número de aparición de éstos.

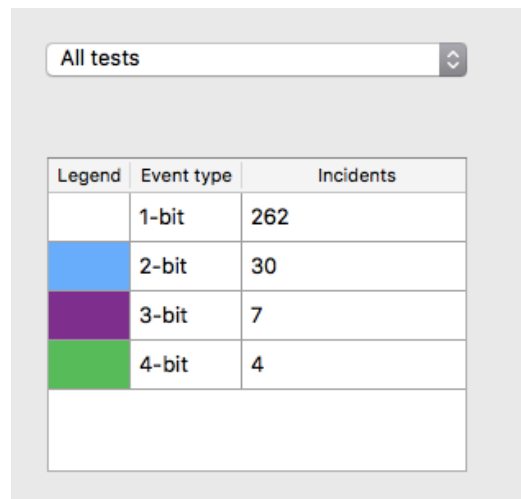


Figura 4.5: Visualización de la leyenda con los bits que aparecen, los distintos eventos y el número de aparición de éstos.

Finalmente, si queremos seleccionar un archivo distinto y ejecutar un experimento diferente, basta con volver a pulsar el botón de selección de archivo y elegir uno nuevo. El

programa se reiniciará y ejecutará el nuevo experimento generando de nuevo la ventana que contiene el dibujo de la memoria SRAM.

En el caso de que queramos salir de la aplicación, basta con pulsar en el icono superior que contiene un X para finalizar la ejecución.



# Capítulo 5

## Resultados

Todas las reglas representadas en el [Capítulo 4](#) se han usado para elaborar una metodología que detecte MCUs. Esta metodología se explica en el Algoritmo [1](#). Si se conocen otros valores *DV* críticos (por ejemplo de experimentos con otro patrón) estos se deben incluir en los conjuntos *Candidates* y *PCandidates*.

Para verificar cuán efectiva es esta estrategia, se han usado los conjuntos de datos obtenidos al irradiar memorias SRAM de 90 y 130-nm con neutrones 14MeV en las instalaciones de GENEPI2. En estos experimentos, las memorias se escribieron con un patrón 0x55 y se irradiaron en diferentes rondas (Tablas [5.1](#) y [5.2](#)). Los datos de la Tabla [5.1](#) no ha sido publicados aún, pero los de la Tabla [5.2](#) se han presentado y analizado en otro documento.

Test	SBU		2.bit MCU		3-bit MCU	
	Est.	Real	Est.	Real	Est.	Real
A	369	355	34	41	0	0
B	322	312	29	34	0	0
C	243	241	19	20	1	1
D	273	271	21	22	0	0
E	256	248	26	30	0	0
F	260	252	33	37	0	0

Tabla 5.1: 130-NM SRAM: Eventos estimados vs. eventos reales

Test	SBU		2.bit MCU		3-bit MCU		4-bit MCU	
	Est.	Real	Est.	Real	Est.	real	Est.	Real
A	1621	1645	112	96	14	12	8	8
B	1354	1385	105	89	11	10	2	3
C	1201	1215	105	96	11	13	5	3
D	1047	1065	109	97	14	15	5	4
E	879	876	95	99	15	12	3	4
F	727	734	93	77	11	16	4	5
G	623	623	70	69	5	7	1	0
Test	5-bit MCU		6-bit MCU		7-bit MCU		$\geq 8$ bit	
	Est.	Real	Est.	Real	Est.	Real	Est.	Real
A	0	2	1	0	0	0	0	1
B	1	0	0	1	0	0	0	0
C	0	1	0	0	0	0	0	0
D	0	0	0	0	0	1	0	0
E	0	0	0	1	0	0	0	0
F	0	0	0	0	0	0	0	0
G	0	0	0	0	0	0	0	0

Tabla 5.2: 90-NM SRAM: Eventos estimados vs. eventos reales

Ambas tablas comparan el número estimado de MCUs con el número real. La distribución real de los MCUs se descubrió usando información privada del fabricante. En la Tabla 5.1 se ha subestimado el número de eventos. En otras palabras: el algoritmo no ha gestionado la identificación todos los valores anómalos. Sin embargo, en la Tabla 5.2, el caso es exactamente el contrario: se han sobreestimado los eventos múltiples. La razón fue que la posición exacta de las celdas depende de la posición del bit en la palabra. En este caso, algunos bitflips estaban lo suficientemente cerca como para engañar al algoritmo ya que las direcciones eran similares pero no pertenecían a los MCUs, porque las celdas que se trastornaban estaban muy lejos unas de otras.

Una posible mejora del algoritmo podría consistir en la incorporación de la posición del bit de la dirección afectada. Esto significa que, por ejemplo, palabras de 8-bits necesitarían 3 bits adicionales para codificar las celdas en lugar de todas las palabras. El problema es

que  $L_N$  se incrementa con un factor de 8, haciendo los cálculos más complejos.

También, el algoritmo falla cuando detecta eventos inusuales grandes. De todos modos, los eventos no detectados están en el orden de un 15 % del total, lo cual hace que sea una buena estimación teniendo en cuenta que no se requiere el conocimiento físico del diseño de la memoria y que este margen es del orden de error experimental (más o menos, el doble de la raíz cuadrada de los eventos). Finalmente, el tiempo de cómputo del programa que ha sido codificado por el Algoritmo 1 no es del todo muy alto. Así, la clasificación de todos los datos mostrados en la Tabla 5.2, solo requiere unos 45s en un PC con un procesador de 4 cores Intel Xeon, 8 Gb RAM, trabajando a 3.39 GHz, y usando Xubuntu GNU/Linux 16.04/64 bits.

En cuanto al tiempo de cómputo del programa hecho en Julia y la versión propuesta en lenguaje C, disminuye drásticamente cómo podemos observar en la Tabla 4.1. Dependiendo del tipo de memoria elegida obtenemos, en algunos casos, una mejora de más de la mitad del tiempo procesado poniendo en evidencia que el uso de lenguaje C es mucho más eficiente y rápido a la hora de procesar los datos que la versión de Julia. Esta reducción del tiempo de procesado es propiciado por la disminución del uso de memoria.





# Capítulo 6

## Conclusiones

### 6.1. Conclusiones

En este documento hemos podido comparar y evaluar los resultados obtenidos de las propiedades estadísticas del conjunto de direcciones con bitflips, con las predicciones matemáticas de un modelo donde todos los eventos son aislados. A su vez, dichos resultados se muestran de una forma mucho más amigable a través de una interfaz gráfica.

Hemos podido detectar que al usar un lenguaje diferente, en nuestro caso C para el programa principal, hemos obtenido una mejora en cuanto a rendimiento, disminuyendo el tiempo de ejecución en más de la mitad.

La implementación de las funciones estadísticas no ha sido muy compleja, pero sí que requiere de ciertos conocimientos matemáticos para su comprensión. También hay que destacar la inclusión de la interfaz gráfica como elemento significativo y fundamental de este proyecto. Con ella, conseguimos que cualquier usuario pueda tener una visión mucho mas clara, sencilla y limpia de los resultados obtenidos del experimento y también mejora sustancialmente el método de selección del experimento a ejecutar.

En conclusión podemos asegurar que se han cumplido los objetivos establecidos al comienzo de este documento. Primero, se ha hecho un análisis de las diferentes técnicas existentes para detectar los diferentes errores. A continuación, se ha desarrollado la herramienta que

además de realizar su función específica, mejora en tiempos de procesado y espacio a su antecesora.

Y finalmente, se ha creado una interfaz gráfica para facilitar la interacción del usuario con la herramienta. Podemos concluir también que ha sido un acierto la modificación que se ha realizado sobre el programa como así se ve reflejado en la mejora de resultados expuestos a lo largo de este documento.

## **6.2. Aportación individual de los miembros del grupo al proyecto**

A rasgos generales, el trabajo se ha desarrollado de manera cooperativa, organizando sesiones conjuntas para implementar juntos los distintos aspectos del proyecto.

Al comienzo del proyecto, planteamos la optimización del nuevo programa a partir del programa base. Pensamos y detallamos que pasos seguiríamos y que estructura debería tener nuestra herramienta. Posteriormente, David se documentó a fondo sobre el lenguaje Julia, realizando distintas modificaciones del código con el fin de conocer y entender su funcionamiento para realizar el análisis del código. Paula comenzó la traducción a C, creando el proyecto del programa y sus diferentes archivos, así como de las estructuras que íbamos a usar. Posteriormente, y después de varios meses de pruebas y modificaciones, ambos finalizarían el programa.

Paula, una vez terminada la traducción, realizó una serie de pruebas con los datos proporcionados sobre el nuevo programa para comprobar que las salidas resultantes eran las correctas en todos los experimentos que se nos proporcionaron. Con el programa base finalizado sería el momento de programar la interfaz gráfica. Está hecha con el framework Qt, que permite

primero crear una vista de los elementos a añadir en el programa y después permite el envío de señales entre los distintos componentes para realizar acciones. David comenzó a investigar las distintas funcionalidades del framework, su organización en archivos y realizó ciertos programas de prueba. Mientras tanto, Paula comenzó con la redacción de la memoria del proyecto, analizando los requisitos necesarios y realizando un esqueleto del documento.

En la última parte del proyecto, debido a las dificultades encontradas a la hora de realizar la interfaz, Paula tuvo un importante peso en la realización y conclusión de la GUI, mientras que David continuaba y finalizaba la memoria.

En el transcurso del tiempo que se ha realizado este proyecto, ambos miembros del grupo se reunían de manera constante para realizar el trabajo en conjunto en un despacho facilitado por la directora del proyecto favoreciendo el trabajo en equipo, prestándonos ayuda entre nosotros y permitiendo una mejor comunicación.



# Apéndice A

## Código del proyecto

Este proyecto consta de tres archivos que contienen el código de nuestro programa. El primero contiene el código principal, denominado *main.c*, un segundo con la librería de funciones *libs.h* y otro con las estructuras que contienen los distintos tipos de datos que vamos a usar.

A continuación se adjunta el código en lenguaje C con las funciones y bibliotecas mas importantes que se han utilizado y explicado en este proyecto.

```
1  /** Librerías que hemos usado**/
2
3  #define libs_h
4  #include <stdio.h>
5  #include <string.h>
6  #include <inttypes.h>
7  #include <stdlib.h>
8  #include <float.h>
9  #include <math.h>
10 #include <stdbool.h>
11 #include <ctype.h>
12 #include <time.h>
13 #include <fcntl.h>
14 #include <math.h>
15
```

16  
17  
18  
19  
20  
21  
22  
23  
24  
25  
26  
27  
28  
29  
30  
31  
32  
33  
34  
35  
36  
37  
38  
39  
40  
41  
42  
43  
44  
45  
46  
47  
48  
49

```
/** Principales Funciones **/  
  
/*  
 * This function allows calculating the lowest number of repetitions from which  
 * the expected number is below threshold.  
 * RepInHistVector is a column vector containing the statistics. It is assumed  
 * that the first element correspond to 0 repetitions.  
 */  
int32_t excessiveRepetitions(matrixInt322DStruct* repInHistVector, int repInHistVectorCol,  
long int LN, char* operation, double threshold){  
    int32_t nthreshold = 0, ndv = 0, k, i;  
    vectorInt32Struct occurrenceIndex;  
    occurrenceIndex.length = repInHistVector->rows;  
    occurrenceIndex.data = calloc(occurrenceIndex.length, sizeof(int32_t));  
    for (i = 0; i < repInHistVector->rows; i++)  
        occurrenceIndex.data[i] = i;  
  
    for (i = 0; i < occurrenceIndex.length; i++)  
        ndv += ((int32_t)repInHistVector->data[i]  
[repInHistVectorCol] * occurrenceIndex.data[i]);  
  
    k = 0;  
    if (strcmp(operation, "pos") == 0){  
        if ((excessiveRepetitions(repInHistVector, repInHistVectorCol, LN, "xor",  
threshold) - 1) > 0){  
            k = excessiveRepetitions(repInHistVector,  
repInHistVectorCol, LN, "xor", threshold) - 1;  
        } else {  
            k = 0;  
        }  
    }
```

```

50     } else {
51         k = 0;
52     }
53
54     for (i = k; i < occurrenceIndex.length; i++) {
55         if (expectedRepetitions(i, LN, ndv, operation) < threshold) {
56             nthreshold = i;
57             break;
58         }
59     }
60     free(occurrenceIndex.data);
61     return nthreshold;
62 }
63
64
65
66 /*
67  * Keep in mind that davmatrix is a boolean matrix containing FALSE if two elements
68  * are not involved in the same MCU and TRUE if so. this function
69  * locate the elements and agrupate it in pairs
70  */
71 matrixInt322DStruct agrupate_mcus(matrixBool2DStruct* davmatrix){
72     /* Let us locate the elements */
73     /* Find the indexes with nonzero values */
74     int count = 0, i, j, k, x, xx;
75     vectorInt32Struct nonzerovectorelements;
76     nonzerovectorelements.length = davmatrix->rows * davmatrix->cols;
77     nonzerovectorelements.data = calloc(davmatrix->rows*davmatrix->cols,
78     sizeof(int32_t));
79     for (i = 0; i < davmatrix->rows; i++) {
80         for (j = 0; j < davmatrix->cols; j++) {
81             if (davmatrix->data[i][j] != false) {
82                 nonzerovectorelements.data[count] = j * davmatrix->cols + i;
83                 count++; /* Number of elements known but they can be repeated */

```

```

84         }
85     }
86 }
87 nonzerovectorelements.length = count;
88 nonzerovectorelements.data = realloc(nonzerovectorelements.data,
89 nonzerovectorelements.length * sizeof(int32_t));
90
91 /* Now, transform the elements in pairs creating a matrix with 2 columns. */
92 matrixInt322DStruct relatedpairs;
93 relatedpairs.rows = nonzerovectorelements.length;
94 relatedpairs.cols = 2;
95 relatedpairs.data = calloc(relatedpairs.rows, sizeof(int32_t*));
96 for (i = 0; i < relatedpairs.rows; i++) {
97     relatedpairs.data[i] = calloc(relatedpairs.cols, sizeof(int32_t));
98 }
99
100 /*
101  * The first operation calculates the column
102  */
103 for (i = 0; i < relatedpairs.rows; i++) {
104     if((nonzerovectorelements.data[i] % davmatrix->rows != 0)){
105         relatedpairs.data[i][0] = nonzerovectorelements.data[i]
106     }else{
107         relatedpairs.data[i][0] = nonzerovectorelements.data[i]
108     }
109     relatedpairs.data[i][1] = (nonzerovectorelements.data[i] /
110     davmatrix->rows)+1;
111 }
112
113 free(nonzerovectorelements.data);
114 /* We have created a matrix containing the related pairs. Now, we must
115  * group them in larger events.
116  * First step: A matrix initializing the events. Perhaps *too large, but it is better
117  * to have spare space.

```



```

118     */
119     matrixInt322DStruct thesummary;
120     thesummary.rows = count;
121     thesummary.data = calloc(count, sizeof(int32_t*));
122     if (count < NMaxAddressesInEvent) { /* If the minimum value is newCount */
123         thesummary.cols = count;
124         for (i = 0; i < count; i++) {
125             thesummary.data[i] = calloc(thesummary.cols, sizeof(int32_t));
126         }
127     } else { /* If the minimum value is NMaxAddressesInEvent */
128         thesummary.cols = NMaxAddressesInEvent;
129         for (i = 0; i < count; i++) {
130             thesummary.data[i] = calloc(thesummary.cols, sizeof(int32_t));
131         }
132     }
133
134     /* Now, we save the first pair in the first column: */
135     int totalEvents = 0, thelargestMCU = 0;
136     int32_t firstAddress, secondAddress, firstAddressRow = 0, secondAddressRow = 0;
137     for (k = 0; k < count; k++) {
138         /* There are several cases. Let us list them in order.
139          * Positions are extrated from the pairs. */
140         firstAddress = relatedpairs.data[k][0];
141         secondAddress = relatedpairs.data[k][1];
142         /* We need to look if firstAddress and secondAddress are in the matrix */
143         bool firstAddressFound = false, secondAddressFound = false;
144         for (i = 0; i < thesummary.rows; i++) {
145             for (j = 0; j < thesummary.cols; j++) {
146                 if ((thesummary.data[i][j] == firstAddress) &&
147                     (firstAddressFound == false)) {
148                     firstAddressFound = true;
149                     firstAddressRow = i;
150                 }
151                 if ((thesummary.data[i][j] == secondAddress)

```

```

152         && (secondAddressFound == false)) {
153             secondAddressFound = true;
154             secondAddressRow = i;
155         }
156     }
157 }
158 /*
159  * Case 1:
160  * Both addresses are not present in thesummary. They are placed at a new_row
161  * at NTotalEvents.
162  */
163 if (!firstAddressFound && !secondAddressFound){
164     thesummary.data[totalEvents][0] = relatedpairs.data[k][0];
165     thesummary.data[totalEvents][1] = relatedpairs.data[k][1];
166     totalEvents++;
167 }
168 /*
169  * Case 2:
170  * FirstAddress is present, but not SecondAddress
171  */
172 if (firstAddressFound && !secondAddressFound){
173     /* First of all, let us locate the row where the FirstAddress is.
174      * Now, it is necessary to locate the first free column to put the new
175      address. */
176     x = 0;
177     while ((thesummary.data[firstAddressRow][x] != 0)
178         && (x < thesummary.cols)) {
179         x++;
180     }
181     /* Fixed problem. We do know exactly the position to put the new value. */
182     if (x < thesummary.cols) {
183         thesummary.data[firstAddressRow][x] = secondAddress;
184     }
185 }

```

```

186      /*
187      * Case 3:
188      * FirstAddress absent, Second Address present. similar to previous one.
189      */
190      if (!firstAddressFound && secondAddressFound) {
191          /* First of all, let us locate the row where the Second Address is.
192           * Now, it is necessary to locate the first free
193           column to put the new address. */
194          x = 0;
195          while ((thesummary.data[secondAddressRow][x] != 0)
196              && (x < thesummary.cols)) {
197              x++;
198          }
199          /* Fixed problem. We do know exactly the position to put the new value.
200          if (x < thesummary.cols) {
201              thesummary.data[secondAddressRow][x] = firstAddress;
202          }
203      }
204      /*
205      * Case 4:
206      * Both addresses had been previously detected. Two subcases appear: They
207      * are included in the same row (MCU) so the program must skip this pair or
208      * are included in differen rows. Therefore, both rows
209      must be carefully merged.
210      */
211      if (firstAddressFound && secondAddressFound) {
212          /*
213          * If both values are identical, the pair must be skipped and the progra
214          * continue. If different, the rows must be merged.
215          */
216          if (firstAddressRow != secondAddressRow){
217              /* First step: It is necessary to range the
218              numbers in increasing order. */
219              int32_t addressRowMin = 0, addressRowMax = 0;

```

```

220         if (firstAddressRow < secondAddressRow) {
221             addressRowMin = firstAddressRow;
222             addressRowMax = secondAddressRow;
223         } else {
224             addressRowMin = secondAddressRow;
225             addressRowMax = firstAddressRow;
226         }
227
228         /* Now, let us locate elements in RowMin different from 0 */
229         vectorInt32Struct thesummarytemp;
230         thesummarytemp = unionAgrupate_mcus(&thesummary, addressRowMin,
231         addressRowMax);
232
233         /*
234          * Time to put the elements in the row.
235          */
236         for (i = 0; i < thesummary.cols; i++) {
237             thesummary.data[addressRowMin][i] = thesummarytemp.data[i];
238             /* The union vector is copied into the matrix */
239             thesummary.data[addressRowMax][i] = 0;
240         }
241         /* Also, as two events have been merged, the
242          number of total events is lower: */
243         totalEvents--;
244     }
245 }
246 }
247
248 liberaInt(relatedpairs.data, count);
249 /*
250      * Now, we will separate the cells with information from those with zeros.
251      * The number of rows is easy to calculate: NTotalEvents. Concerning the other
252      element:
253      */

```

```

254     int ind = 0, sum = 0;
255     for(j = 2; j < thesummary.cols; j++) {
256         for (i = 0; i < thesummary.rows; i++) {
257             if(thesummary.data[i][j] != 0){
258                 if(j > ind){
259                     ind = j;
260                 }
261                 sum++;
262             }
263         }
264         if (sum == 0) {
265             thelargestMCU = j;
266             break;
267         } else {
268             thelargestMCU = ind+1;
269         }
270     }
271     matrixInt322DStruct result;
272     result.rows = totalEvents;
273     result.cols = thelargestMCU;
274     result.data = calloc(result.rows, sizeof(int32_t*));
275     for (i = 0; i < result.rows; i++) {
276         result.data[i] = calloc(result.cols, sizeof(int32_t));
277     }
278     for (x = 0; x < result.rows; x++) {
279         for (xx = 0; xx < result.cols; xx++) {
280             result.data[x][xx] = thesummary.data[x][xx];
281         }
282     }
283
284     liberaInt(thesummary.data, thesummary.rows);
285     return result;
286 }
287

```

```

288  /*
289   * An alternative implementation of the trace rule.
290   * Anomal XOR values is used to avoid the repetition of elements.
291   */
292  vectorInt32Struct traceRule(matrixInt322DStruct *xorDVtotalrepetitions,
293  matrixUint322DStruct *totalDVhistogram, matrixInt322DStruct *anomalXORvalues,
294  long int LN){
295      int i, j, z, index;
296      int32_t nBits = (log(LN + 1) / log(2));
297
298      /* Elements with 1-trace */
299      printf("\n\tInvestigating Trace = 1: ");
300      /* An array with nBits is created with 2^x values */
301      vectorInt32Struct candidatesT1;
302      candidatesT1.length = nBits;
303      candidatesT1.data = calloc(candidatesT1.length, sizeof(int32_t));
304      for (i = 0; i < candidatesT1.length; i++){
305          candidatesT1.data[i] = pow(2, i);
306      }
307
308      int32_t nT1Threshold = excessiveRepetitions(xorDVtotalrepetitions,
309  1, LN, "xor", randomnessThreshold);
310
311      vectorInt32Struct selectedT1;
312      selectedT1.length = nBits;
313      selectedT1.data = calloc(selectedT1.length, sizeof(int32_t));
314      int sT1Lenght = 0;
315      for (i = 0; i < nBits; i++) {
316          if (totalDVhistogram->data[candidatesT1.data[i]-1][1] >= nT1Threshold) {
317              selectedT1.data[sT1Lenght] = candidatesT1.data[i];
318              sT1Lenght++;
319          }
320      }
321      selectedT1.length = sT1Lenght;

```

```

322     selectedT1.data = realloc(selectedT1.data, selectedT1.length * sizeof(int32_t));
323     free(candidatesT1.data);
324
325     vectorInt32Struct winnersT1;
326     winnersT1 = setdiffTraceRule(&selectedT1, anomalXORvalues);
327
328     free(selectedT1.data);
329     printf("%d candidate", winnersT1.length);
330     if (winnersT1.length != 1)
331         printf("s");
332     printf(" found.");
333
334     /* Elements with 2-trace */
335     printf("\n\tInvestigating Trace = 2: ");
336     vectorInt32Struct candidatesT2;
337     candidatesT2.length = 0.5 * nBits * (nBits-1);
338     candidatesT2.data = calloc(candidatesT2.length, sizeof(int32_t));
339     index = 0;
340     for (i = 0; i < (nBits-1); i++) {
341         for (j = i+1; j < nBits; j++) {
342             candidatesT2.data[index] = (pow(2, i))+(pow(2, j)); /* 2k1 + 2k2 */
343             index++;
344         }
345     }
346
347     int32_t nT2Threshold = excessiveRepetitions(xorDVtotalrepetitions, 1, LN, "xor",
348     randomnessThreshold);
349
350     vectorInt32Struct selectedT2;
351     selectedT2.length = candidatesT2.length;
352     selectedT2.data = calloc(candidatesT2.length, sizeof(int32_t));
353     int sT2Lenght = 0;
354     for (i = 0; i < candidatesT2.length; i++) {
355         if (totalDVhistogram->data[candidatesT2.data[i]-1][1] >= nT2Threshold) {

```

```

356         selectedT2.data[sT2Lenght] = candidatesT2.data[i];
357         sT2Lenght++;
358     }
359 }
360 selectedT2.length = sT2Lenght;
361 selectedT2.data = realloc(selectedT2.data, sT2Lenght * sizeof(int32_t));
362 free(candidatesT2.data);
363
364 vectorInt32Struct winnersT2;
365 winnersT2 = setdiffTraceRule(&selectedT2, anomalXORvalues);
366
367 free(selectedT2.data);
368 printf("%d candidate", winnersT2.length);
369 if (winnersT2.length != 1)
370     printf("s");
371 printf(" found.");
372
373 /* Elements with 3-trace */
374 printf("\n\tInvestigating Trace = 3: ");
375 vectorInt32Struct candidatesT3;
376 candidatesT3.length = nBits*(nBits-1)*(nBits-2)/6;
377 candidatesT3.data = calloc(candidatesT3.length, sizeof(int32_t));
378 index = 0;
379 for (i = 0; i < (nBits-2); i++) {
380     for (j = i+1; j < (nBits-1); j++) {
381         for (z = j+1; z < nBits; z++) {
382             candidatesT3.data[index] = (pow(2, i))+(pow(2, j))+(pow(2, z));
383             index++;
384         }
385     }
386 }
387 vectorInt32Struct selectedT3;
388 selectedT3.data = calloc(candidatesT3.length, sizeof(int32_t));
389 int sT3Lenght = 0;

```



```

390     for (i = 0; i < candidatesT3.length; i++) {
391         if (totalDVhistogram->data[candidatesT3.data[i]-1][1] >= nT2Threshold) {
392             selectedT3.data[sT3Lenght] = candidatesT3.data[i];
393             sT3Lenght++;
394         }
395     }
396     selectedT3.length = sT3Lenght;
397     selectedT3.data = realloc(selectedT3.data, selectedT3.length * sizeof(int32_t));
398
399     free(candidatesT3.data);
400
401     vectorInt32Struct winnersT3;
402     winnersT3 = setdiffTraceRule(&selectedT3, anomalXORvalues);
403     printf("%d candidate", winnersT3.length);
404     free(selectedT3.data);
405     if (winnersT3.length != 1)
406         printf("s");
407     printf(" found.");
408     printf("\n\tEnd of search.\n");
409
410     vectorInt32Struct vectorUnion = unionVec(&winnersT1, &winnersT2, &winnersT3);
411     free(winnersT1.data);
412     free(winnersT2.data);
413     free(winnersT3.data);
414
415     return vectorUnion;
416 }
417
418 /*
419  * Function to differentiate where the MCUs values are.
420  */
421 matrixInt323DStruct propose_MCUs(char* op, matrixUint323DStruct *XORDVmatrix3D,
422 matrixUint323DStruct *POSDVmatrix3D, matrixInt322DStruct
423 *anomalXOR, matrixInt322DStruct *anomalPOS, vectorIntStruct*

```

```

424 nAddressesInRound){
425     int i, j, ktest;
426     int rows = ceil(XORDVmatrix3D->rows / 2 - 1);
427     if (strcmp(op, "xor") == 0){ /* OP == XOR */
428         matrixInt323DStruct XOR_summary;
429         XOR_summary.rows = rows;
430         XOR_summary.cols = UnrealMCUsize;
431         XOR_summary.dims = XORDVmatrix3D->dims;
432         XOR_summary.data = calloc(XOR_summary.rows, sizeof(int32_t**));
433         for (i = 0; i < XOR_summary.rows; i++) {
434             XOR_summary.data[i] = calloc(XOR_summary.cols,
435             sizeof(int32_t*));
436             for (j = 0; j < XOR_summary.cols; j++) {
437                 XOR_summary.data[i][j] = calloc(XOR_summary.dims,
438                 sizeof(int32_t));
439             }
440         }
441         for (ktest = 0; ktest < XOR_summary.dims; ktest++){
442             matrixUInt322DStruct xordvmatrix;
443             xordvmatrix.rows = nAddressesInRound->data[ktest];
444             xordvmatrix.cols = nAddressesInRound->data[ktest];
445             xordvmatrix.data = calloc(xordvmatrix.rows, sizeof(int32_t*));
446             for (i = 0; i < xordvmatrix.rows; i++) {
447                 xordvmatrix.data[i] =
448                 calloc(xordvmatrix.cols, sizeof(int32_t));
449             }
450             copyOfMatrix3to2(XORDVmatrix3D, &xordvmatrix, ktest);
451
452             matrixBool2DStruct XORmarked_pairs =
453             marking_addresses(&xordvmatrix, anomalXOR);
454
455             matrixInt322DStruct XORproposed_MCUs =
456             agrupate_mcus(&XORmarked_pairs);
457             for (i = 0; i < XORproposed_MCUs.rows; i++) {

```

```

458         for (j = 0; j < XORproposed_MCUs.cols; j++) {
459             XOR_summary.data[i][j][ktest] =
460                 XORproposed_MCUs.data[i][j];
461         }
462     }
463 }
464
465 /* However, as there are too many zeros, it is
466 *interesting to reshape the matrix.
467 * Thus, some memory is saved. But we must be careful
468 *with the different dimensions
469 * of every partial XY matrix in XYZ arrays. A simple
470 *but unelegant way is : */
471 matrixInt323DStruct finalXOR_summary = cutZerosFromMCUsSummary(&XOR_summary);
472 libera3D(XOR_summary.data, XOR_summary.rows, XOR_summary.cols);
473 return finalXOR_summary;
474 }
475 else if (strcmp(op, "pos") == 0){ /* OP == POS */
476     matrixInt323DStruct POS_summary;
477     POS_summary.rows = rows;
478     POS_summary.cols = UnrealMCUsSize;
479     POS_summary.dims = XORDVmatrix3D->dims;
480     POS_summary.data = calloc(POS_summary.rows, sizeof(int32_t**));
481     for (i = 0; i < POS_summary.rows; i++) {
482         POS_summary.data[i] = calloc(POS_summary.cols, sizeof(int32_t));
483         for (j = 0; j < POS_summary.cols; j++) {
484             POS_summary.data[i][j] =
485                 calloc(POS_summary.dims, sizeof(int32_t));
486         }
487     }
488
489     for (ktest = 0; ktest < XORDVmatrix3D->dims; ktest++){
490         matrixInt322DStruct posdvmatrix;
491         posdvmatrix.rows = nAddressesInRound->data[ktest];

```

```

492     posdvmatrix.cols = nAddressesInRound->data[ktest];
493     posdvmatrix.data = calloc(posdvmatrix.rows, sizeof(int32_t*));
494         for (i = 0; i < posdvmatrix.rows; i++) {
495             posdvmatrix.data[i] =
496                 calloc(posdvmatrix.cols, sizeof(int32_t));
497         }
498     copyOfMatrix3to2(POSDVmatrix3D, &posdvmatrix, ktest);
499
500     matrixBool2DStruct POSmarked_pairs;
501     POSmarked_pairs = marking_addresses(&posdvmatrix, anomalPOS);
502
503         /* The following results only concern an operation. Just present
504         * operations. In practical use, only CMB should be used. */
505     matrixInt322DStruct POSproposed_MCUs = agrupate_mcus(&POSmarked_pairs);
506     for (i = 0; i < POSproposed_MCUs.rows; i++) {
507         for (j = 0; j < POSproposed_MCUs.cols; j++) {
508             POS_summary.data[i][j][ktest] =
509                 POSproposed_MCUs.data[i][j];
510         }
511     }
512 }
513
514 /* However, as there are too many zeros, it is
515 * interesting to reshape the matrix.
516 * Thus, some memory is saved. But we must be careful
517 * with the different dimensions
518 * of every partial XY matrix in XYZ arrays. A simple
519 * but unelegant way is : */
520 matrixInt323DStruct finalPOS_summary = cutZerosFromMCUSummary(&POS_summary);
521 libera3D(POS_summary.data, POS_summary.rows, POS_summary.cols);
522 return finalPOS_summary;
523 }
524 else{ /* OP == CMB */
525     matrixInt323DStruct CMB_summary;
526     CMB_summary.rows = rows;

```

```

526     CMB_summary.cols = UnrealMCUsize;
527     CMB_summary.dims = XORDVmatrix3D->dims;
528     CMB_summary.data = calloc(CMB_summary.rows, sizeof(int32_t**));
529         for (i = 0; i < CMB_summary.rows; i++) {
530             CMB_summary.data[i] =
531             calloc(CMB_summary.cols, sizeof(int32_t*));
532             for (j = 0; j < CMB_summary.cols; j++) {
533                 CMB_summary.data[i][j] = calloc(CMB_summary.dims, si
534             }
535         }
536
537         for (ktest = 0; ktest < XORDVmatrix3D->dims; ktest++){
538             matrixInt322DStruct xordvmatrix;
539             xordvmatrix.rows = nAddressesInRound->data[ktest];
540             xordvmatrix.cols = nAddressesInRound->data[ktest];
541             xordvmatrix.data = calloc(xordvmatrix.rows, sizeof(int32_t*));
542             for (i = 0; i < xordvmatrix.rows; i++) {
543                 xordvmatrix.data[i] =
544                 calloc(xordvmatrix.cols, sizeof(int32_t));
545             }
546             copyOfMatrix3to2(XORDVmatrix3D, &xordvmatrix, ktest);
547
548             matrixInt322DStruct posdvmatrix;
549             posdvmatrix.rows = nAddressesInRound->data[ktest];
550             posdvmatrix.cols = nAddressesInRound->data[ktest];
551             posdvmatrix.data = calloc(posdvmatrix.rows, sizeof(int32_t*));
552             for (i = 0; i < posdvmatrix.rows; i++) {
553                 posdvmatrix.data[i] =
554                 calloc(posdvmatrix.cols, sizeof(int32_t));
555             }
556             copyOfMatrix3to2(POSDVmatrix3D, &posdvmatrix, ktest);
557
558             matrixBool2DStruct XORmarked_pairs =
559

```

```

560     marking_addresses(&xordvmatrix, anomalXOR);
561         matrixBool2DStruct POSmarked_pairs =
562     marking_addresses(&posdvmatrix, anomalPOS);
563
564     matrixBool2DStruct XOR_POS_marked_pairs;
565     XOR_POS_marked_pairs.rows =
566     nAddressesInRound->data[ktest];
567     XOR_POS_marked_pairs.cols =
568     nAddressesInRound->data[ktest];
569     XOR_POS_marked_pairs.data =
570     calloc(nAddressesInRound->data[ktest], sizeof(bool*));
571         for (i = 0; i < nAddressesInRound->data[ktest]; i++) {
572             XOR_POS_marked_pairs.data[i] = calloc(nAddressesInRound->data[ktest], sizeof(bool));
573         }
574
575         for (i = 0; i < nAddressesInRound->data[ktest]; i++) {
576             for (j = 0; j < nAddressesInRound->data[ktest]; j++) {
577                 XOR_POS_marked_pairs.data[i][j] = XORmarked_pairs.data[i][j];
578             }
579         }
580
581         matrixInt322DStruct CMBproposed_MCUs =
582     agrupate_mcus(&XOR_POS_marked_pairs);
583         for (i = 0; i < CMBproposed_MCUs.rows; i++) {
584             for (j = 0; j < CMBproposed_MCUs.cols; j++) {
585                 CMB_summary.data[i][j][ktest] =
586                 CMBproposed_MCUs.data[i][j];
587             }
588         }
589     }
590
591     /* However, as there are too many zeros, it is
592     *interesting to reshape the matrix.
593     * Thus, some memory is saved. But we must be careful
594     *with the different dimensions

```

```

594     * of every partial XY matrix in XYZ arrays. A simple
595     *but unelegant way is : */
596     matrixInt323DStruct finalCMB_summary;
597     finalCMB_summary = cutZerosFromMCUsSummary(&CMB_summary);
598     libera3D(CMB_summary.data, CMB_summary.rows, CMB_summary.cols);
599     return finalCMB_summary;
600 }
601 }
602
603
604 /*
605  *this function avoids the selection of false MCU indicators.
606  */
607 matrixInt322DStruct extractAnomalDVSelfConsistency(char* op,
608 matrixInt322DStruct* opDVtotalrepetitions,
609 matrixUInt322DStruct* totalDVhistogram,
610 vectorIntStruct* nAddressesInRound,
611 matrixInt322DStruct* opdvhistogram,
612 matrixInt323DStruct* opdvmatrixbackup, int* XORANOMALS){
613     int32_t opNthreshold;
614     int* n_anomalous_values = malloc(sizeof(int));
615     matrixInt322DStruct testOPa;
616     testOPa.rows = 0;
617     testOPa.cols = 0;
618     matrixInt322DStruct oPExtracted_values;
619     bool oPSelfConsistence = true;
620     int n_anomalous_repetitions = 1, i, j, test;
621     printf("\n\tDetermining the threshold for repetition excess:\n");
622
623     if (strcmp(op, "xor") == 0) {
624         printf("\n\t\tXOR operation...");
625         opNthreshold = excessiveRepetitions(opDVtotalrepetitions, 1,
626 totalDVhistogram->rows, "xor", randomnessThreshold);
627         testOPa = find_anomalies_histogram(totalDVhistogram, 1,

```

```

628     opDVtotalrepetitions,
629     1, opNthreshold, n_anomalous_values);
630     *XORANOMALS = *n_anomalous_values;
631
632     printf("\n\tXOR operation:\n");
633     oPExtracted_values =
634     extract_some_critical_values(&testOPa, n_anomalous_values, 1);
635
636     while (oPSelfConsistence) {
637         printf("\t\tStep %d ", n_anomalous_repetitions);
638         oPExtracted_values =
639         extract_some_critical_values(&testOPa,
640         n_anomalous_values, n_anomalous_repetitions);
641
642         matrixInt322DStruct opPartRepsSelfCons;
643         opPartRepsSelfCons.rows = oPExtracted_values.rows;
644         opPartRepsSelfCons.cols = nAddressesInRound-
645         >length;
646         opPartRepsSelfCons.data = calloc(opPartRepsSelfCons.rows,
647         sizeof(int32_t*));
648         for (i = 0; i < opPartRepsSelfCons.rows; i++) {
649             opPartRepsSelfCons.data[i] =
650             calloc(opPartRepsSelfCons.cols, sizeof(int32_t));
651         }
652         for (i = 0; i < opPartRepsSelfCons.rows; i++) {
653             for (j = 0; j < opPartRepsSelfCons.cols; j++) {
654                 opPartRepsSelfCons.data[i][j] =
655                 opdvhistogram->data[(oPExtracted_values.data[i][0])-1][j+1];
656             }
657         }
658
659         for (test = 0; test < nAddressesInRound->length; test++) {
660             printf("Test %d", test+1);
661             matrixUInt322DStruct opdvmatrix;

```



```

662         opdvmatrix.rows = nAddressesInRound->data[test];
663         opdvmatrix.cols = nAddressesInRound->data[test];
664         opdvmatrix.data = calloc(opdvmatrix.rows, sizeof(int32_t*));
665             for (i = 0; i < opdvmatrix.rows; i++) {
666                 opdvmatrix.data[i] =
667                     calloc(opdvmatrix.cols, sizeof(int32_t));
668             }
669         copyOfMatrix3to2(opdvmatrixbackup, &opdvmatrix, test);
670         matrixBool2DStruct opMarkedPairs;
671         opMarkedPairs = marking_addresses(&opdvmatrix, &oPExtracted_values);
672
673         matrixInt322DStruct opProposedMcus;
674         opProposedMcus = agrupate_mcus(&opMarkedPairs);
675         int largestMCUSize = opProposedMcus.cols;
676
677         int continuation = findEqual(&opPartRepsSelfCons, 0,
678         test, largestMCUSize);
679         if (continuation != 0) {
680             oPSelfConsistence = false;
681         }
682
683     }
684     if (oPSelfConsistence) {
685         n_anomalous_repetitions++;
686         printf("\n");
687         if (n_anomalous_repetitions > *n_anomalous_values) {
688             oPSelfConsistence = false;
689             printf("\n\t\tNo more anomalous elements to
690             check. Exiting\n");
691         }
692     }
693     else {
694         printf("\n\t\tViolation of self-consistence. Returning to previous s
695         n_anomalous_repetitions--;

```

```

696         oPExtracted_values = extract_some_critical_values(&testOPa,
697         n_anomalous_values, n_anomalous_repetitions);
698
699     }
700 }
701
702 } else if (strcmp(op, "pos") == 0){
703     printf("\n\t\tPOS operation (It can take a long if there are too many a
704     opNthreshold = excessiveRepetitions(opDVtotalrepetitions, 1,
705     totalDVhistogram->rows, "pos", randomnessThreshold);
706     testOPa = find_anomalies_histogram(totalDVhistogram, 2,
707     opDVtotalrepetitions, 1, opNthreshold, n_anomalous_values);
708
709     printf("\n\t\tPOS operation:\n");
710     oPExtracted_values =
711     xtract_some_critical_values(&testOPa, n_anomalous_values, 1);
712
713     while (oPSelfConsistence) {
714         printf("\t\tStep %d ", n_anomalous_repetitions);
715         oPExtracted_values = extract_some_critical_values(&testOPa, n_anomalous_va
716
717         matrixInt322DStruct opPartRepsSelfCons;
718         opPartRepsSelfCons.rows = oPExtracted_values.rows;
719         opPartRepsSelfCons.cols = nAddressesInRound->length;
720         opPartRepsSelfCons.data = calloc(opPartRepsSelfCons.rows, sizeof(int32_t*));
721         for (i = 0; i < opPartRepsSelfCons.rows; i++) {
722             opPartRepsSelfCons.data[i] =
723             calloc(opPartRepsSelfCons.cols, sizeof(int32_t));
724         }
725         for (i = 0; i < opPartRepsSelfCons.rows; i++) {
726             for (j = 0; j < opPartRepsSelfCons.cols; j++) {
727                 opPartRepsSelfCons.data[i][j] =
728                 opdvhistogram->data[(oPExtracted_values.data[i][0])-1][j+1];
729             }

```

```

730     }
731
732     for (test = 0; test < nAddressesInRound->length; test++) {
733         printf("Test %d", test);
734
735         matrixUInt322DStruct opdvmatrix;
736         opdvmatrix.rows = nAddressesInRound->data[test];
737         opdvmatrix.cols = nAddressesInRound->data[test];
738         opdvmatrix.data = calloc(opdvmatrix.rows, sizeof(int32_t*));
739         for (i = 0; i < opdvmatrix.rows; i++) {
740             opdvmatrix.data[i] = calloc(opdvmatrix.cols, sizeof(int32_t));
741         }
742         copyOfMatrix3to2(opdvmatrixbackup, &opdvmatrix, test);
743         matrixBool2DStruct opMarkedPairs =
744         marking_addresses(&opdvmatrix, &oPExtracted_values);
745
746         matrixInt322DStruct opProposedMcus = agrupate_mcus(&opMarkedPairs);
747         int largestMCUSize = opProposedMcus.cols;
748
749         int continuation = findEqual(&opPartRepsSelfCons, 0,
750         test, largestMCUSize);
751         if (continuation != 0) {
752             oPSelfConsistence = false;
753         }
754
755         }
756         if (oPSelfConsistence) {
757             n_anomalous_repetitions++;
758             printf("\n");
759             if (n_anomalous_repetitions > *XORANOMALS) {
760                 oPSelfConsistence = false;
761                 printf("\n\t\tNo more anomalous elements to check. Exiting\n");
762             }
763         }else {

```

```

764         printf("\n\t\tViolation of self-consistence. Returning to previous state");
765         n_anomalous_repetitions--;
766         oPEExtracted_values = extract_some_critical_values(&ttestOPa,
767             n_anomalous_values, n_anomalous_repetitions);
768     }
769 }
770
771 }
772 return oPEExtracted_values;
773 }
774
775 /*
776  *This function gets the critical values from the XOR operation
777  *
778  */
779
780 vectorInt32Struct criticalXORValuesFromClusters(matrixInt323DStruct* PrelMCUSummary,
781 matrixInt322DStruct* AddressMatrix,
782 matrixInt322DStruct* XORextracted_values,
783 matrixInt322DStruct* xorDVtotalrepetitions,
784 matrixInt322DStruct* DVHistogram){
785     vectorInt32Struct newCandidates;
786     newCandidates.length = 0;
787     newCandidates.data = calloc(PrelMCUSummary->rows *
788 PrelMCUSummary->cols * PrelMCUSummary->dims, sizeof(int32_t));
789     int ktest, kRow, kAddress1, kAddress2, i;
790     int32_t index1, index2, address1, address2, candidate;
791     for (ktest = 0; ktest < PrelMCUSummary->dims; ktest++){
792         for (kRow = 0; kRow < PrelMCUSummary->rows; kRow++){
793             for (kAddress1 = 1; kAddress1 < PrelMCUSummary->cols;
794                 Address1++){
795                 index1 = PrelMCUSummary->data[kRow][kAddress1][ktest];
796                 if (index1 == 0){
797                     break;

```

```

798         }
799         else{
800             address1 = AddressMatrix->data[index1-1][kAddress1];
801             for (kAddress2 = 0; kAddress2 < kAddress1; kAddress2++)
802                 index2 = PrelMCUSummary->data[kRow][kAddress2];
803             address2 = AddressMatrix->data[index1-1][index2];
804             candidate = address1 ^ address2;
805             if (findEqualMatrix(XORextracted_val, candidate) == 0){
806                 vectorInt32Struct vCandidate;
807                 vCandidate.length = 1;
808                 vCandidate.data = calloc(1, sizeof(int32_t));
809                 vCandidate.data[0] = candidate;
810                 newCandidates = unionVec(&newCandidates,
811                                         &vCandidate, NULL);
812                 free(vCandidate.data);
813             }
814         }
815     }
816 }
817 }
818 }
819 }
820 newCandidates.data = realloc(newCandidates.data,
821                               newCandidates.length* sizeof(int32_t));
822
823     int32_t xorNthreshold = excessiveRepetitions(xorDVtotalrepetitions, 1,
824 DVHistogram->rows, "xor", randomnessThreshold);
825
826     vectorInt32Struct purgedCandidatesXOR;
827     purgedCandidatesXOR.length = newCandidates.length;
828     purgedCandidatesXOR.data = calloc(purgedCandidatesXOR.length, sizeof(int32_t));
829     int purgedCandidatesLenght = 0;
830     for (i = 0; i < purgedCandidatesXOR.length; i++) {
831         if (DVHistogram->data[newCandidates.data[i]-1][1] >= xorNthreshold) {

```

```

832         purgedCandidatesXOR.data[purgedCandidatesLenght] =
833         newCandidates.data[i];
834         purgedCandidatesLenght++;
835     }
836 }
837 purgedCandidatesXOR.length = purgedCandidatesLenght;
838 purgedCandidatesXOR.data = realloc(purgedCandidatesXOR.data,
839 purgedCandidatesXOR.length * sizeof(int32_t));
840
841     return purgedCandidatesXOR;
842 }
843
844 /*
845  * This function allows the get of all the anomal values from the summaries.
846  */
847 void extractAnomalDVfromClusters(matrixInt322DStruct* content,
848 matrixInt322DStruct* XORextracted_values,
849 matrixInt322DStruct* POSextracted_values,
850 matrixInt322DStruct* xorDVtotalrepetitions
851 , matrixInt322DStruct* posDVtotalrepetitions,
852 matrixUint322DStruct* totalDVhistogram,
853 matrixInt323DStruct* xordvmatrixbackup,
854 matrixInt323DStruct* posdvmatrixbackup,
855 vectorIntStruct* nAddressesInRound, long int LN,
856 vectorInt32Struct* discoveredXORDVs,
857 vectorInt32Struct* discoveredPOSDVs,
858 matrixInt322DStruct* tempXORDVvalues,
859 matrixInt322DStruct* tempPOSDVvalues){
860
861     bool foundNewDVValues = true;
862     int step = 0, i, j;
863
864     tempXORDVvalues->rows = XORextracted_values->rows;
865     tempXORDVvalues->cols = XORextracted_values->cols;

```

```

866     tempXORDVvalues->data = calloc(tempXORDVvalues->rows, sizeof(int32_t*));
867     for (i = 0; i < tempXORDVvalues->rows; i++) {
868         tempXORDVvalues->data[i] = calloc(tempXORDVvalues->cols, sizeof(int32_t));
869     }
870
871     tempPOSDVvalues->rows = POSextracted_values->rows;
872     tempPOSDVvalues->cols = POSextracted_values->cols;
873     tempPOSDVvalues->data = calloc(tempPOSDVvalues->rows, sizeof(int32_t*));
874     for (i = 0; i < tempPOSDVvalues->rows; i++) {
875         tempPOSDVvalues->data[i] = calloc(tempPOSDVvalues->cols, sizeof(int32_t));
876     }
877
878     for (i = 0; i < tempXORDVvalues->rows; i++) {
879         for (j = 0; j < tempXORDVvalues->cols; j++) {
880             tempXORDVvalues->data[i][j] = XORextracted_values->data[i][j];
881         }
882     }
883     for (i = 0; i < tempPOSDVvalues->rows; i++) {
884         for (j = 0; j < tempPOSDVvalues->cols; j++) {
885             tempPOSDVvalues->data[i][j] = POSextracted_values->data[i][j];
886         }
887     }
888
889     while (foundNewDVValues) {
890         step++;
891         printf("\nStep: %d", step);
892         printf("Creating preliminary organization...");
893         matrixInt323DStruct tempCMB_summary;
894         matrixInt323DStruct tempXOR_summary;
895         matrixInt323DStruct tempPOS_summary;
896
897         tempXOR_summary = propose_MCUs("xor", xordvmatrixbackup,
898         posdvmatrixbackup, tempXORDVvalues, tempPOSDVvalues, nAddressesInRound);
899         tempPOS_summary = propose_MCUs("pos", xordvmatrixbackup,

```

```

900     posdvmatrixbackup, tempXORDVvalues, tempPOSDVvalues, nAddressesInRound);
901     tempCMB_summary = propose_MCUs("cmb", xordvmatrixbackup,
902     posdvmatrixbackup, tempXORDVvalues, tempPOSDVvalues, nAddressesInRound);
903
904     printf(" Ended. Searching new Elements...");
905
906     printf(" XOR...");
907
908     int nProposedXORDV = 0;
909     vectorInt32Struct proposedXORDV;
910     proposedXORDV = criticalXORValuesFromClusters(&tempCMB_summary, content,
911     tempXORDVvalues, xordVtotalrepetitions, totalDVhistogram);
912
913     vectorInt32Struct proposedPOSDV;
914     nProposedXORDV = proposedXORDV.length;
915     int nProposedPOSDV = 0;
916     printf(" POS. SUB...");
917
918     printf(" Ended. ");
919
920     if (nProposedXORDV != 0) {
921         printf("\n\t\tXOR operation:  %d new DV element", nProposedXORDV);
922         if (nProposedXORDV != 1) {
923             printf("s");
924         }
925         printf("found.");
926         *discoveredXORDVs = unionVec(&proposedXORDV, discoveredXORDVs, NULL);
927
928         matrixInt322DStruct auxXORDV;
929         auxXORDV.rows = XORextracted_values->rows + nProposedXORDV;
930         auxXORDV.cols = XORextracted_values->cols;
931         auxXORDV.data = calloc(auxXORDV.rows, sizeof(int32_t*));
932         for (i = 0; i < auxXORDV.rows; i++) {
933             auxXORDV.data[i] = calloc(auxXORDV.cols, sizeof(int32_t));

```



```

934     }
935     for (i = 0; i < XORextracted_values->rows; i++) {
936         for (j = 0; j < XORextracted_values->cols; j++) {
937             auxXORDV.data[i][j] = tempXORDVvalues->data[i][j];
938         }
939     }
940     int index = XORextracted_values->rows;
941     for (int a = 0; a < nProposedXORDV; a++) {
942         auxXORDV.data[index][0] = proposedXORDV.data[a];
943         auxXORDV.data[index][1] = totalDVhistogram->data[proposedXORDV.data[a];
944         index++;
945     }
946
947     tempXORDVvalues->data = auxXORDV.data;
948
949     tempXORDVvalues->rows = XORextracted_values->rows + nProposedXORDV;
950     XORextracted_values->rows = XORextracted_values->rows + nProposedXORDV;
951
952 }
953 if (nProposedPOSDV != 0) {
954     printf("\n\t\tPOS operation:  %d new DV element", nProposedPOSDV);
955     if (nProposedPOSDV != 1) {
956         printf("s");
957     }
958     printf("found.");
959     *discoveredPOSDVs = unionVec(&proposedPOSDV, discoveredPOSDVs, NULL);
960
961     matrixInt322DStruct auxPOSDV;
962     auxPOSDV.rows = POSextracted_values->rows + nProposedPOSDV;
963     auxPOSDV.cols = POSextracted_values->cols;
964     auxPOSDV.data = calloc(auxPOSDV.rows, sizeof(int32_t*));
965     for (i = 0; i < auxPOSDV.rows; i++) {
966         auxPOSDV.data[i] = calloc(auxPOSDV.cols, sizeof(int32_t));
967     }

```

```

968     for (i = 0; i < auxPOSDV.rows; i++) {
969         for (j = 0; j < auxPOSDV.cols; j++) {
970             auxPOSDV.data[i][j] = tempPOSDVvalues->data[i][j];
971         }
972     }
973     int index = POSextracted_values->rows;
974     for (int a = 0; a < nProposedPOSDV; a++) {
975         auxPOSDV.data[index][0] = proposedPOSDV.data[a];
976         auxPOSDV.data[index][1] = totalDVhistogram->data[proposedPOSDV.data[a];
977         index++;
978     }
979
980     tempPOSDVvalues->data = auxPOSDV.data;
981     tempXORDVvalues->rows = POSextracted_values->rows + nProposedPOSDV;
982     POSextracted_values->rows = POSextracted_values->rows + nProposedPOSDV;
983
984 }
985 if ((nProposedXORDV == 0) && (nProposedPOSDV == 0)) {
986     foundNewDVValues = false;
987     printf("\n\n\t\tNO MORE ELEMENTS DISCOVERED. Stopping analysis.");
988 }
989
990 }
991 }
992
993 /*
994  * This function gets the critical values from the XOR operation
995  * Returns a matrix with these values.
996  */
997 matrixInt322DStruct criticalXORvaluesFromXORingRule(matrixInt322DStruct*
998 XORextracted_values, matrixInt322DStruct*
999 XORDVtotalrepetitions, matrixUInt322DStruct*
1000 totalDVhistogram, vectorInt32Struct* candidates){
1001     int i, j;

```

```

1002         bool candidateFind = false, preCandidateFind = false;
1003         printf("\n\tCase 1: XORing known values... ");
1004         vectorInt32Struct preCandidates;
1005         preCandidates.data = calloc(1, sizeof(int32_t));
1006         preCandidates.length = 0;
1007
1008         vectorInt32Struct oldXORValues;
1009         oldXORValues.length = XORextracted_values->rows;
1010         oldXORValues.data = calloc(oldXORValues.length, sizeof(int32_t));
1011         for (i = 0; i < oldXORValues.length; i++) {
1012             oldXORValues.data[i] = XORextracted_values->data[i][0];
1013         }
1014
1015         sort(oldXORValues);
1016
1017         int k1, k2;
1018         for (k1 = 0; k1 < XORextracted_values->rows; k1++){
1019             int old1 = oldXORValues.data[k1];
1020             for (k2 = k1 + 1; k2 < XORextracted_values->rows; k2++){
1021                 candidateFind = false, preCandidateFind = false;
1022                 int old2 = oldXORValues.data[k2];
1023                 int candidate = old1^old2;
1024                 if ((findEqualVector(&oldXORValues, candidate) == 0) &&
1025                     (findEqualVector(&preCandidates, candidate) == 0)) {
1026                     vectorInt32Struct vCandidate;
1027                     vCandidate.length = 1;
1028                     vCandidate.data = calloc(1, sizeof(int32_t));
1029                     vCandidate.data[0] = candidate;
1030                     preCandidates = unionVec(&preCandidates, &vCandidate, NULL);
1031                 }
1032             }
1033         }
1034         sort(preCandidates);
1035

```

```

1036         int nThresholdCase1 = excessiveRepetitions(XORDVtotalrepetitions, 1, totalDVhistogram->totalrepetitions);
1037
1038     vectorInt32Struct candidatesCase1;
1039     candidatesCase1.length = 0;
1040     candidatesCase1.data = calloc(prelCandidates.length, sizeof(int32_t)); /* Later, t
1041     for (i = 0; i < prelCandidates.length; i++) {
1042         if (totalDVhistogram->data[prelCandidates.data[i]-1][1] >= nThresholdCase1) {
1043             candidatesCase1.data[candidatesCase1.length] = prelCandidates.data[i];
1044             candidatesCase1.length++;
1045         }
1046     }
1047     candidatesCase1.data = realloc(candidatesCase1.data,
1048     candidatesCase1.length*sizeof(int32_t));
1049
1050     if (candidatesCase1.length > 0){
1051         printf("%d new value", candidatesCase1.length);
1052         if (candidatesCase1.length != 1)
1053             printf("s");
1054         printf(" obtained. \n");
1055     }
1056     else{
1057         printf("No new values. Going on.\n");
1058     }
1059
1060     oldXORValues = unionVec(&oldXORValues, &candidatesCase1, NULL);
1061     sort(oldXORValues);
1062
1063     /* Case 2: XORing DV elements with confirmed XORs to obtain another one. */
1064     printf("\tCASE 2: XORing DV elements with confirmed values... ");
1065     vectorInt32Struct DVElements;
1066     DVElements.length = totalDVhistogram->rows;
1067     DVElements.data = calloc(DVElements.length, sizeof(int32_t));
1068     int index = 0;
1069     for (i = 0; i < DVElements.length; i++){

```

```

1070         if (totalDVhistogram->data[i][1] != 0){
1071             DVElements.data[index] = i;
1072             index++;
1073         }
1074     }
1075
1076     vectorInt32Struct selectedPrelCandidates;
1077     selectedPrelCandidates.length = 0;
1078     selectedPrelCandidates.data = calloc(1, sizeof(int32_t));
1079     printf(" Searching... ");
1080     int kdv, kxor;
1081     for (kdv = 0; kdv < index; kdv++){
1082         for (kxor = 0; kxor < oldXORValues.length; kxor++){
1083             int xored = DVElements.data[kdv] ^ oldXORValues.data[kxor];
1084             if ((findEqualVector(&oldXORValues, xored) != 0) &&
1085                 (findEqualVector(&oldXORValues, kdv) == 0)) {
1086                 vectorInt32Struct vKdv;
1087                 vKdv.length = 1;
1088                 vKdv.data = calloc(1, sizeof(int32_t));
1089                 vKdv.data[0] = kdv;
1090                 selectedPrelCandidates =
1091                     unionVec(&selectedPrelCandidates, &vKdv, NULL);
1092             }
1093         }
1094     }
1095
1096     int nThresholdCase2 = excessiveRepetitions(XORDVtotalrepetitions,
1097         1, totalDVhistogram->rows, "xor", randomnessThreshold);
1098
1099     vectorInt32Struct candidatesCase2;
1100     candidatesCase2.length = 0;
1101     candidatesCase2.data = calloc(selectedPrelCandidates.length, sizeof(int32_t));
1102     for (i = 0; i < selectedPrelCandidates.length; i++) {
1103         if (totalDVhistogram->data[selectedPrelCandidates.data[i]-1][1] >= nThresholdCase2)

```

```

1104         candidatesCase2.data[candidatesCase2.length] = selectedPrelCandidates.data
1105         candidatesCase2.length++;
1106     }
1107 }
1108 candidatesCase2.data = realloc(candidatesCase2.data,
1109 candidatesCase2.length*sizeof(int32_t));
1110
1111 if (candidatesCase2.length > 0){
1112     printf("%d new value", candidatesCase2.length);
1113     if (candidatesCase2.length != 1)
1114         printf("s");
1115         printf(" obtained. \n");
1116 }else{
1117     printf("No new values. Going on.\n");
1118 }
1119
1120 matrixInt322DStruct newXORDVvalues;
1121 *candidates = unionVec(&candidatesCase1, &candidatesCase2, NULL);
1122 newXORDVvalues.rows = XORextracted_values->rows + candidates->length;
1123 newXORDVvalues.cols = 2;
1124 newXORDVvalues.data = calloc(XORextracted_values->rows, sizeof(int32_t*));
1125 for (i = 0; i < newXORDVvalues.rows; i++) {
1126     newXORDVvalues.data[i] = calloc(2, sizeof(int32_t));
1127 }
1128 index = 0;
1129 for (i = 0; i < XORextracted_values->rows; i++) {
1130     for (j = 0; j < 2; j++) {
1131         newXORDVvalues.data[i][j] = XORextracted_values->data[i][j];
1132     }
1133     index++;
1134 }
1135 for (i = 0; i < candidates->length; i++) {
1136     newXORDVvalues.data[index][0] = candidates->data[i];
1137     newXORDVvalues.data[index][1] = totalDVhistogram->data[candidates->data[i]-1] [

```

```
1138         index++;
1139     }
1140     return newXORDVvalues;
1141 }
1142 #endif
```





# Bibliografía

- [1] D.Falguere and S.petit, “ A Statistical Method to Extract MBU Without Scrambling Information,” IEEE Trans. Nucl. Sci., vol. 54, no. 4, pp. 920-923, Aug. 2007
- [2] M. Wirthlin, D. Lee, G. Swift, and H. Quinn, “A Method and Case Study on Identifying Physically Adjacent Multiple-Cell Upsets Using 28-nm, Interleaved and SECDED-Protected Arrays, ” IEEE Trans. Nucl. Sci., vol. 61, no. 6, pp. 3080-3087, Dec 2014.
- [3] J.A. Clemente, F.J. Franco, F. Villa, M. bayla, S.Rey, H. Mecha, J.A. Agapito, H. Puchner, G. hubert, and R. Velazco, “ Statistical Anomalies of Bitflips in SRAMs to Discriminate SBUs from MCU” IEEE Trans. Nucl. Sci., vol. 63, no. 4, pp. 2087-2094, Aug. 2016
- [4] JuliaLang - Documentación.  
<https://docs.julialang.org>.
- [5] C Language - Documentación.  
<http://devdocs.io/c/>.
- [6] xCode - Documentación.  
<https://developer.apple.com/documentation/xcodekit>.
- [7] Eclipse - Documentación.  
<https://eclipse.org/>.
- [8] Qt - Documentación.  
<https://www.qt.io/es/>.